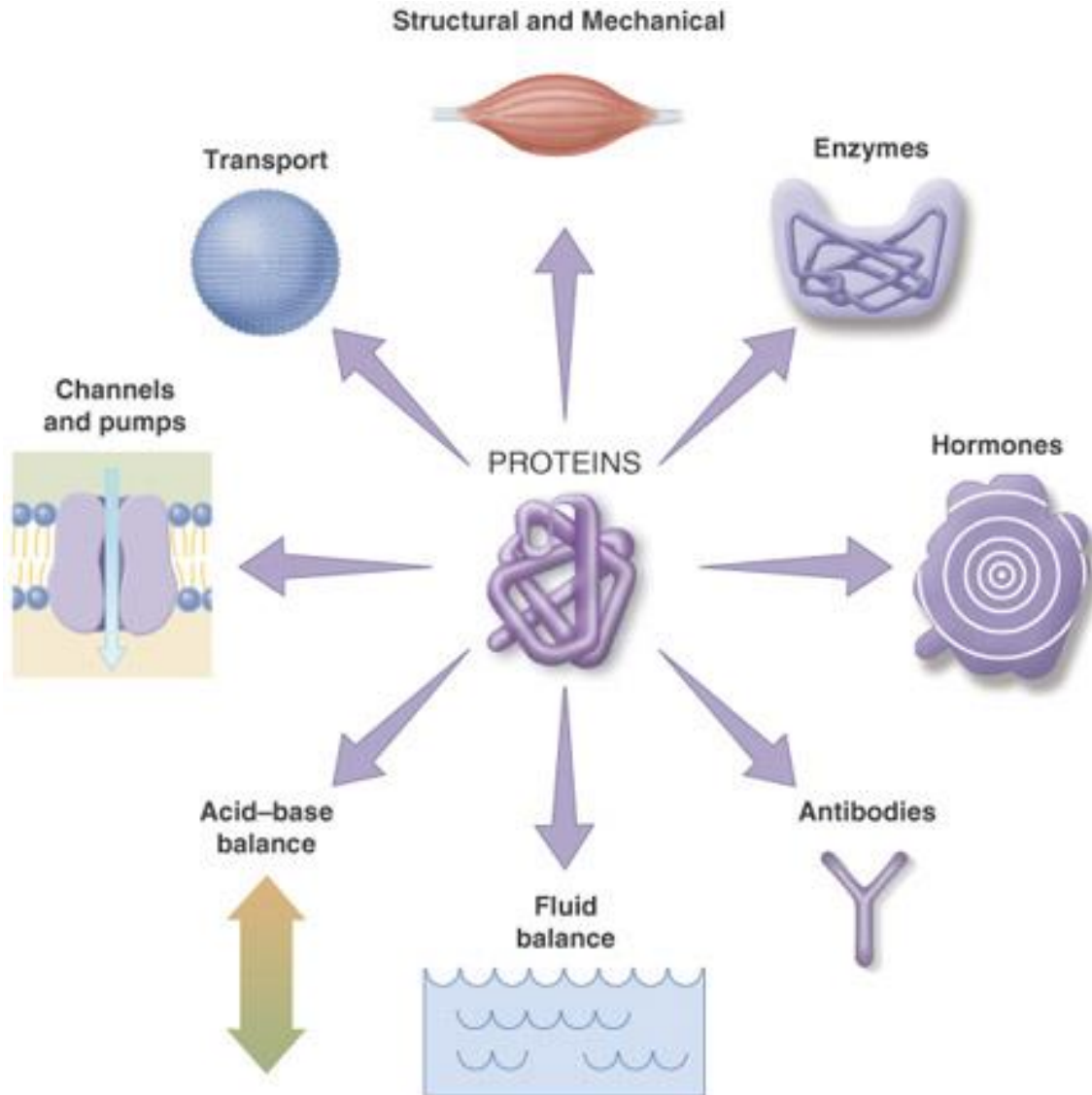


Proteine ricombinanti per studi
strutturali.
studio delle interazioni
intermolecolari

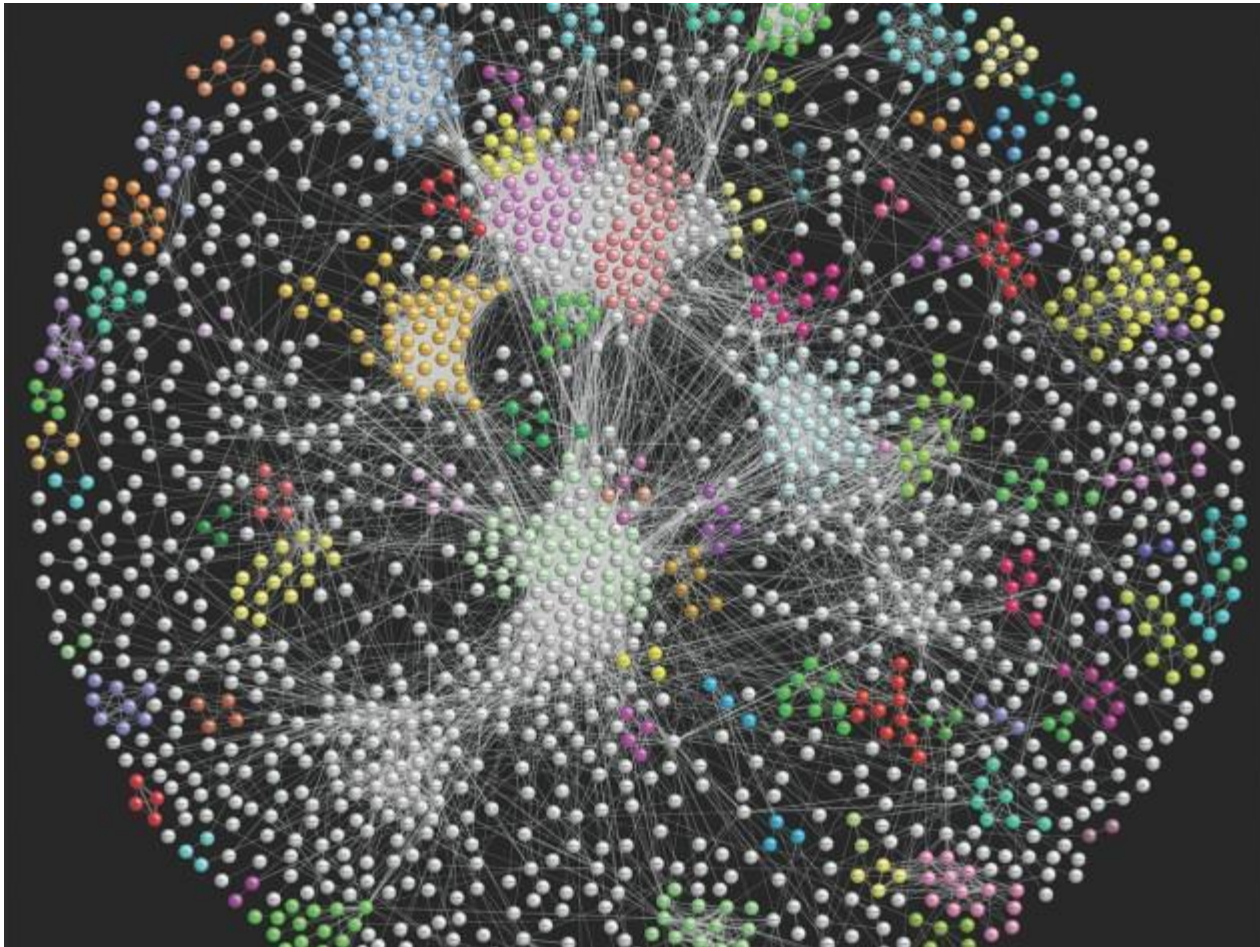
Studio dell'interazione proteina/proteina e proteina/ligando :

Interazione Proteina / Proteina (PPI) e Proteina / Ligando (PLI)



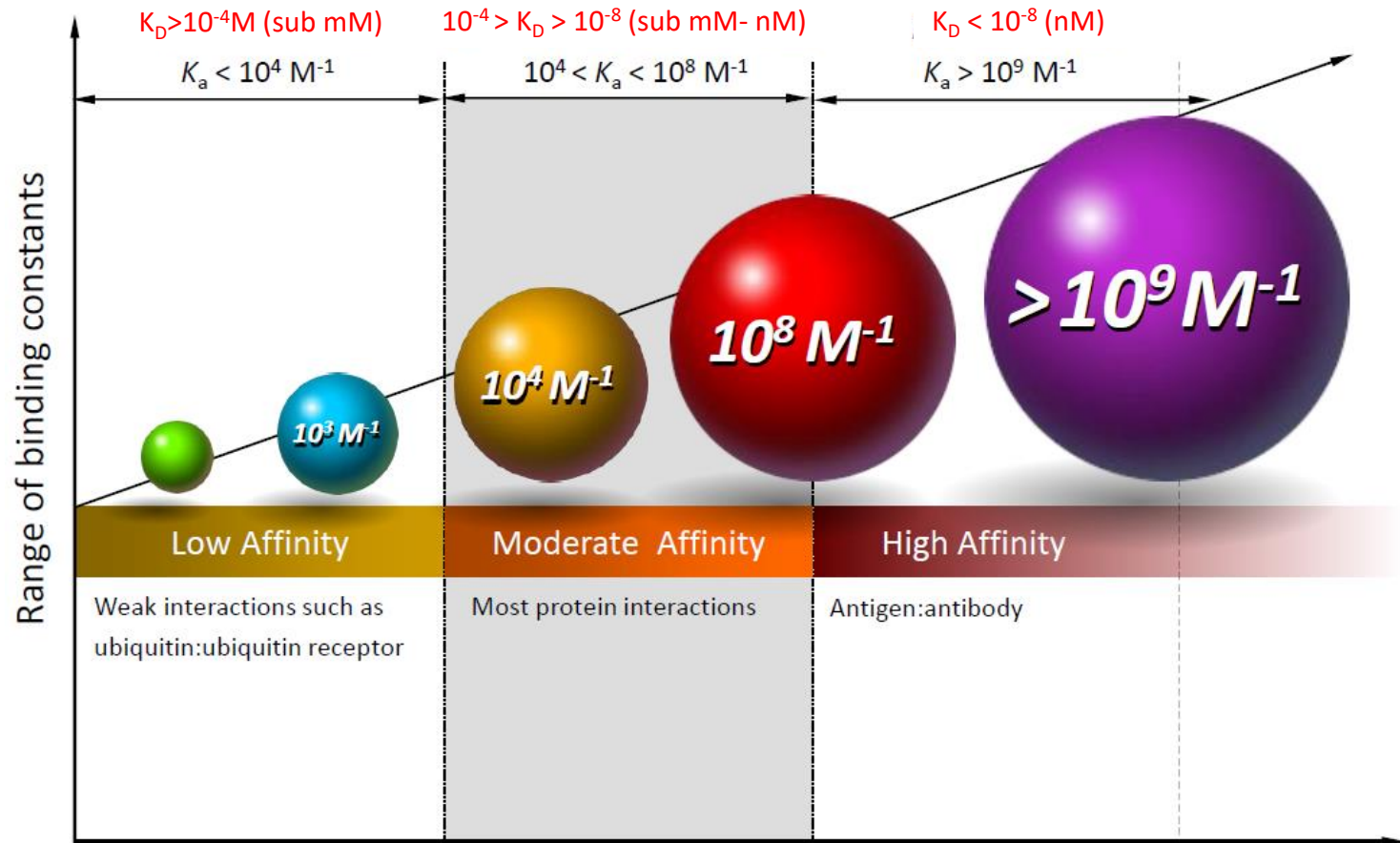
Studio dell'interazione proteina/proteina e proteina/ligando :

PPI network



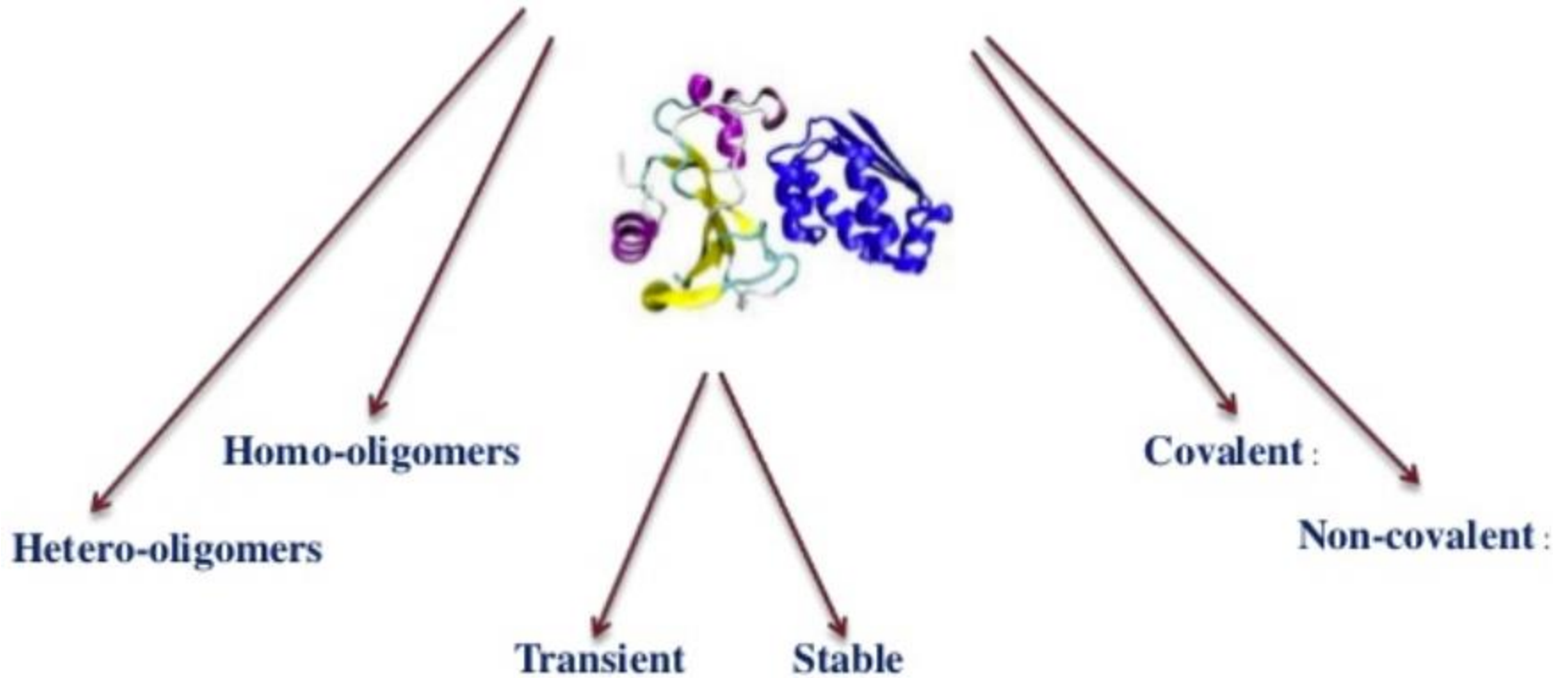
Studio dell'interazione proteina/proteina e proteina/ligando :

PPI affinity ranges



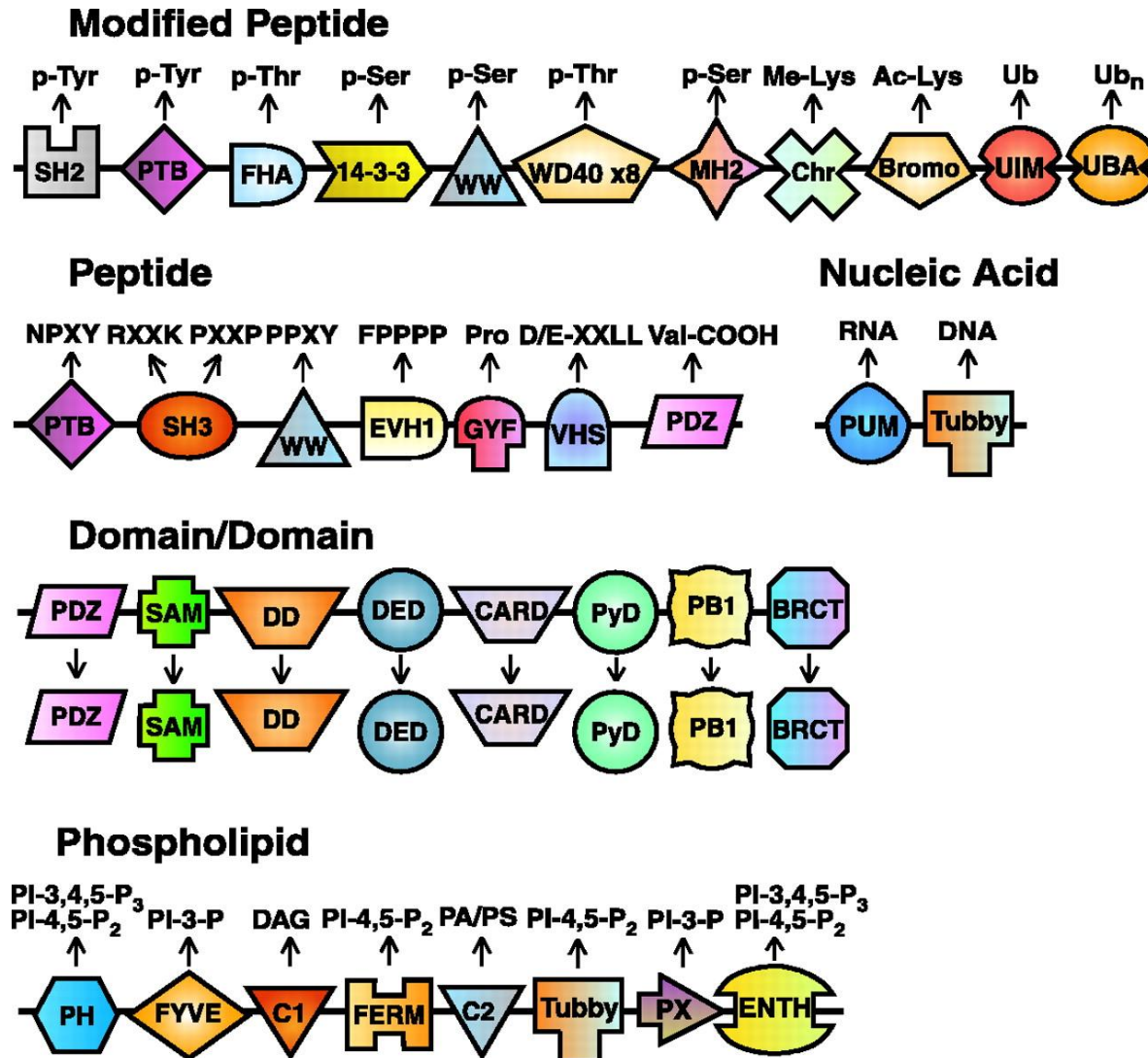
Studio dell'interazione proteina/proteina e proteina/ligando :

PPI tipi



Studio dell'interazione proteina/proteina e proteina/ligando :

PPI : basi



PPI : metodi di identificazione/mapping

Studio dell'interazione proteina/proteina e proteina/ligando :

PPI : metodi di identificazione/mapping

Experimental *(In vivo)*

- Yeast two-hybrid system
- PCA (split ub, lactamase, galactosidase)
- FRET/BRET/BiFc

Experimental *(In vitro)*

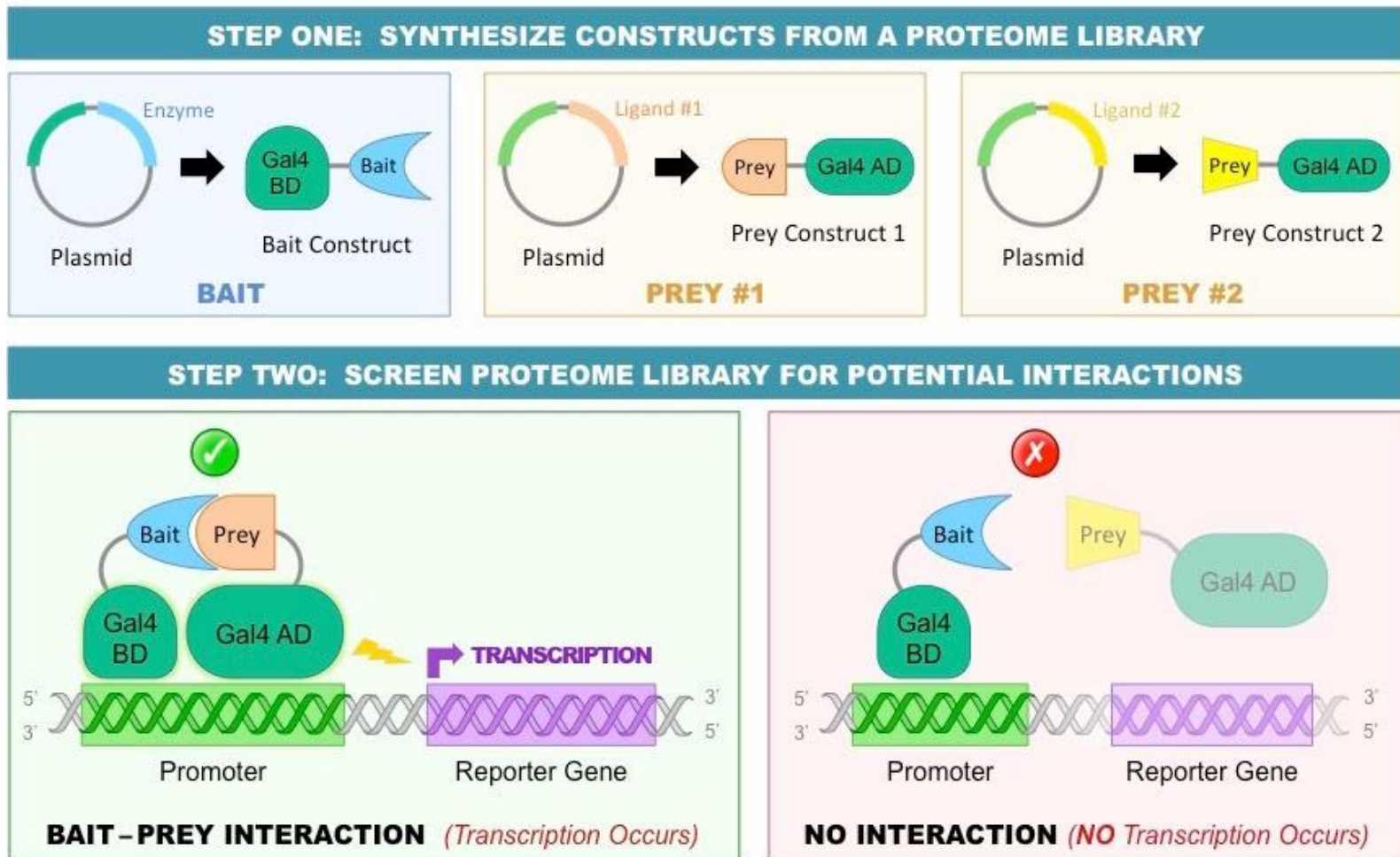
- Co-IP
- Pull-down
- SPR
- Phage Display
- HD-exchange MS/Protein Painting

Computational *(In silico)*

- BIND [Biomolecular Interaction Network Database](#)
- DIP [Database of Interacting Proteins](#)
- MINT [Molecular INTERaction Database](#)
- IntAct [Molecular Interaction Database](#)

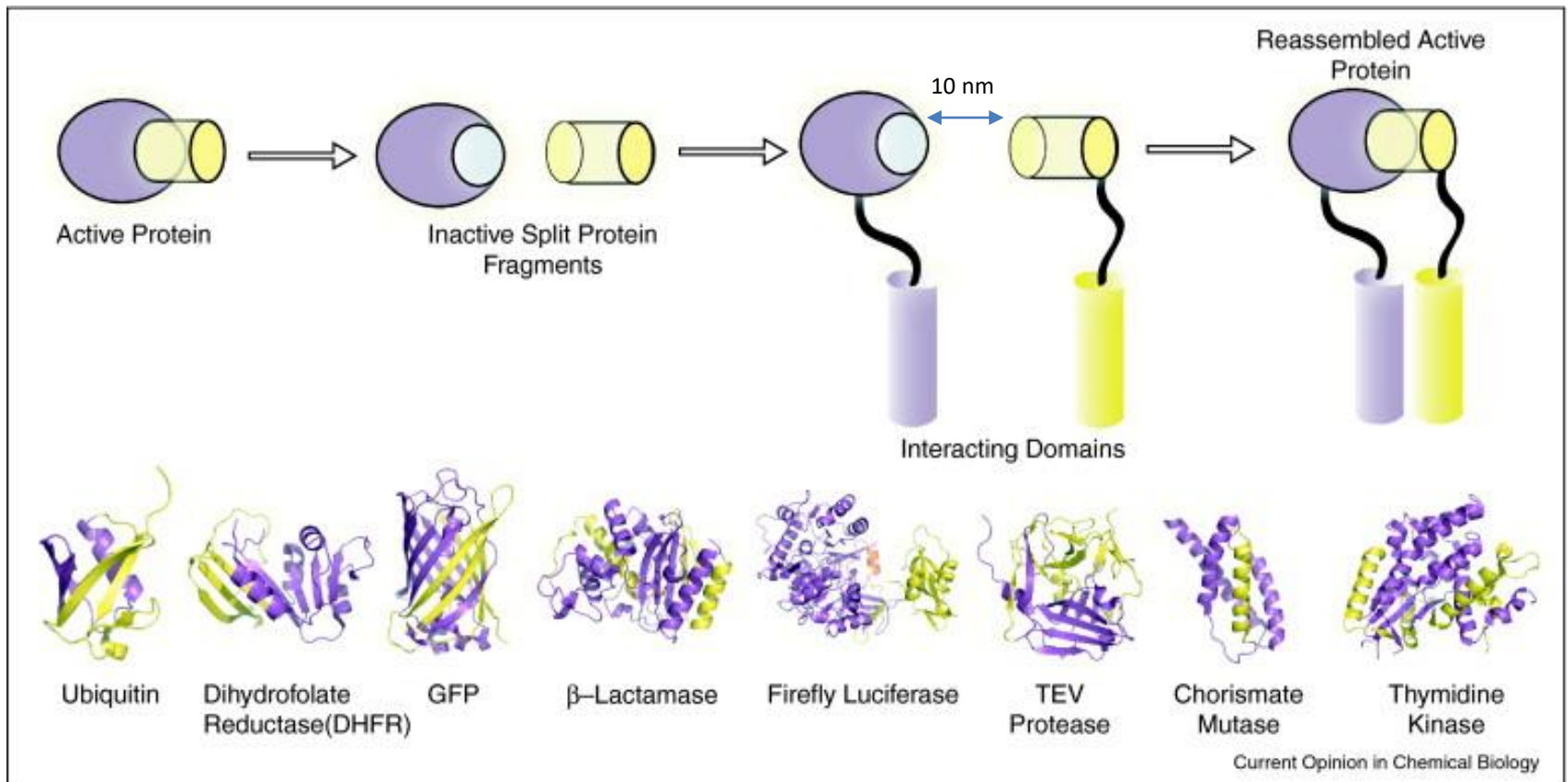
Studio dell'interazione proteina/proteina e proteina/ligando :

PPI : Two Hybrid system



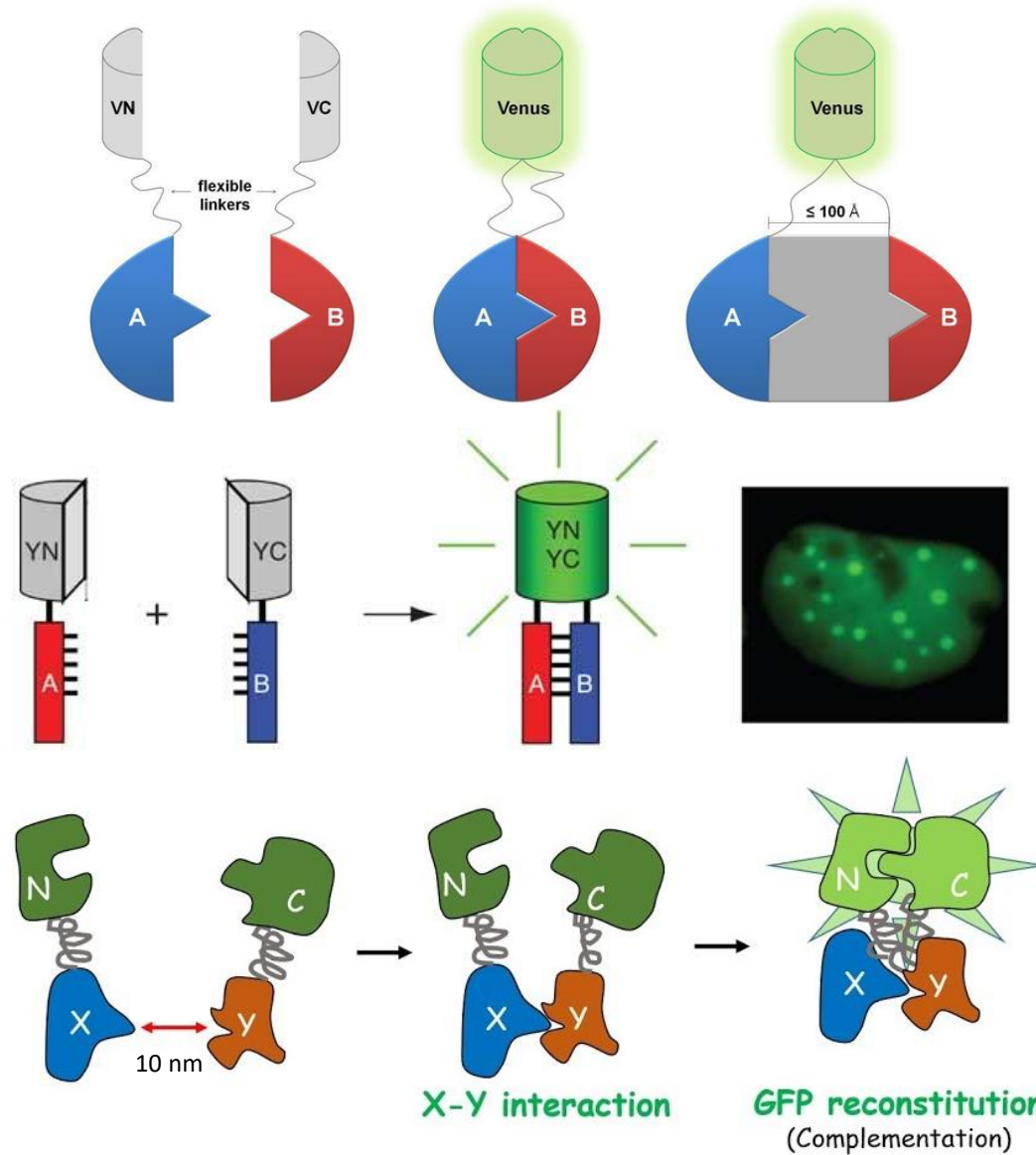
Studio dell'interazione proteina/proteina e proteina/ligando :

PPI : Protein-fragment complementation assay



Studio dell'interazione proteina/proteina e proteina/ligando :

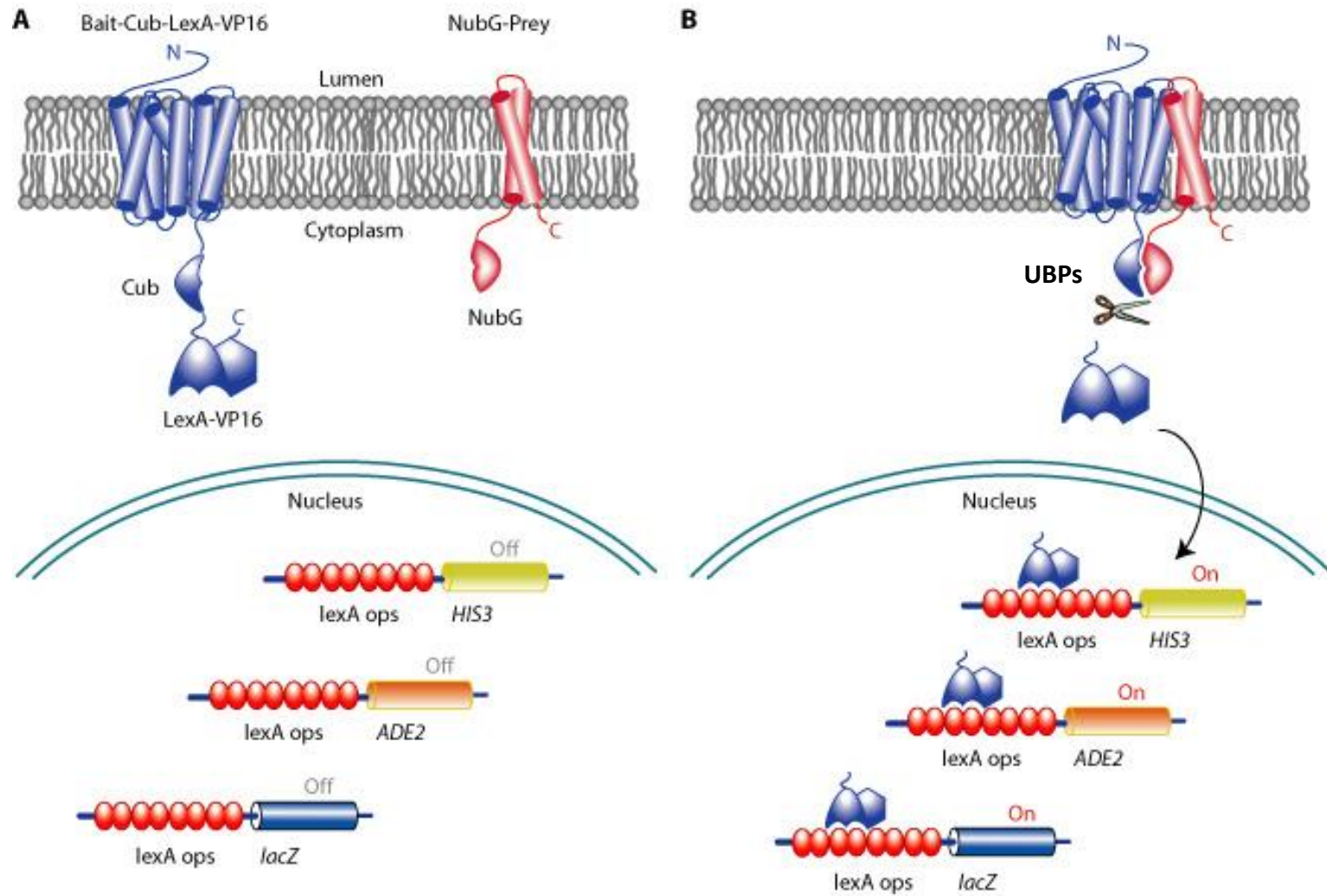
PPI: BiFc (Bimolecular Fluorescence Complementation)



Studio dell'interazione proteina/proteina e proteina/ligando :

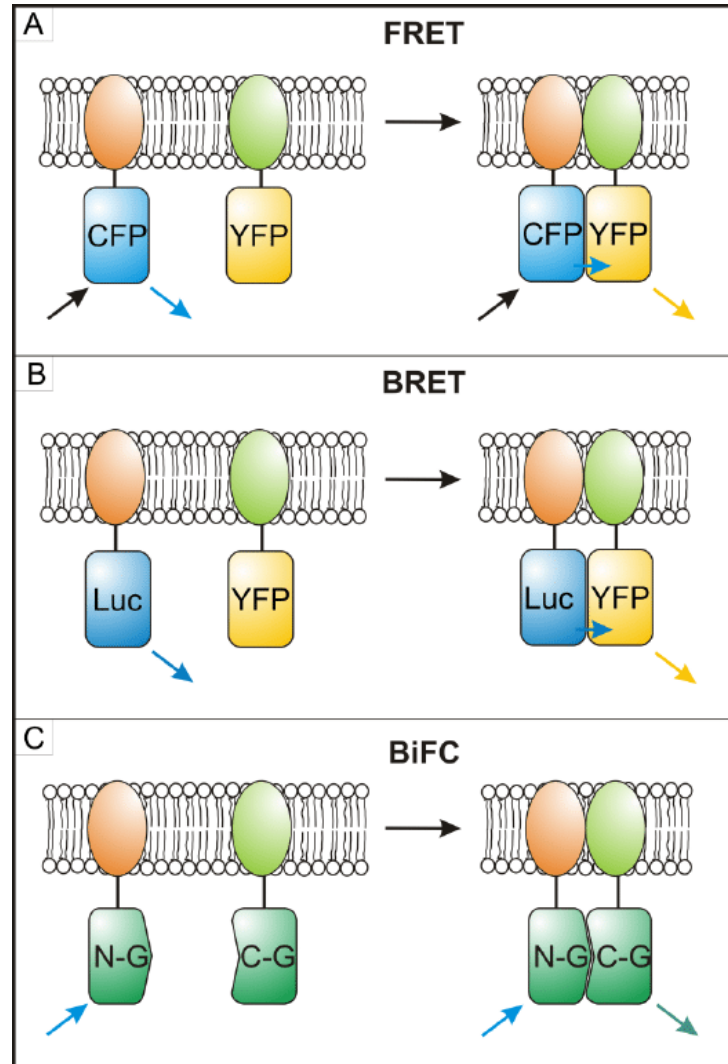
PPI : Two Hybrid system

Per complessi binari a livello di membrana



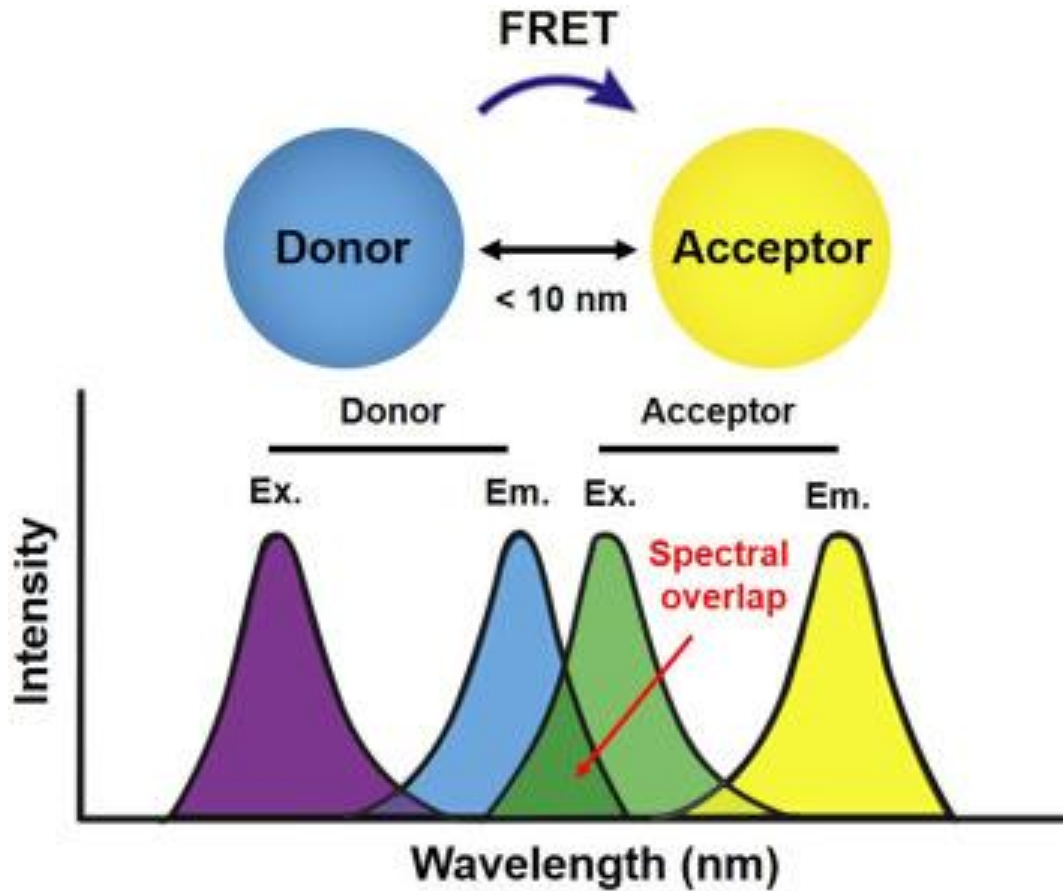
Studio dell'interazione proteina/proteina e proteina/ligando :

PPI : Fluorescence based methods



Studio dell'interazione proteina/proteina e proteina/ligando :

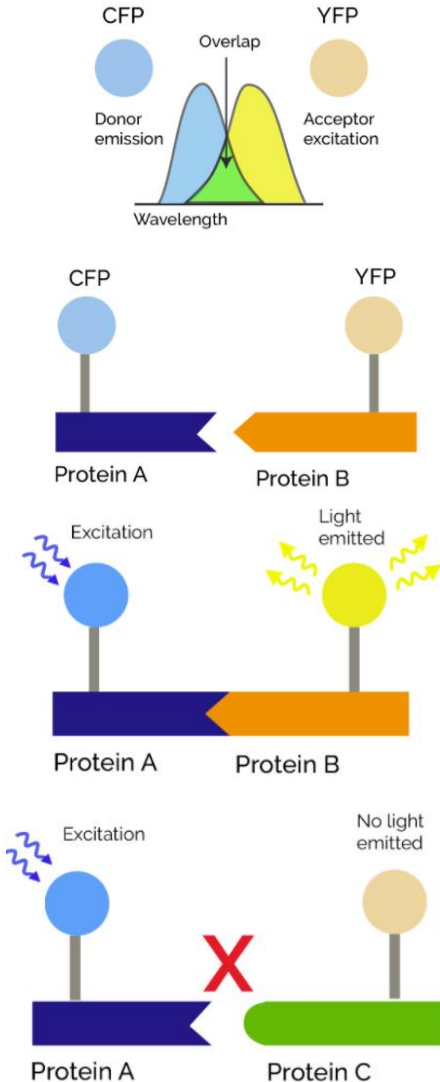
PPI: FRET (Förster Resonance Energy Transfer)



consente di determinare la vicinanza/orientamento di due fluorofori

Studio dell'interazione proteina/proteina e proteina/ligando :

PPI: FRET (Förster Resonance Energy Transfer)



Coppie FRET di fluorofori per marcare in modo specifico biomolecole:

Esprese come proteine di fusione con proteine fluorescenti

- BFP-GFP
- CFP-dsRED
- CFP-YFP

Coniugate chimicamente

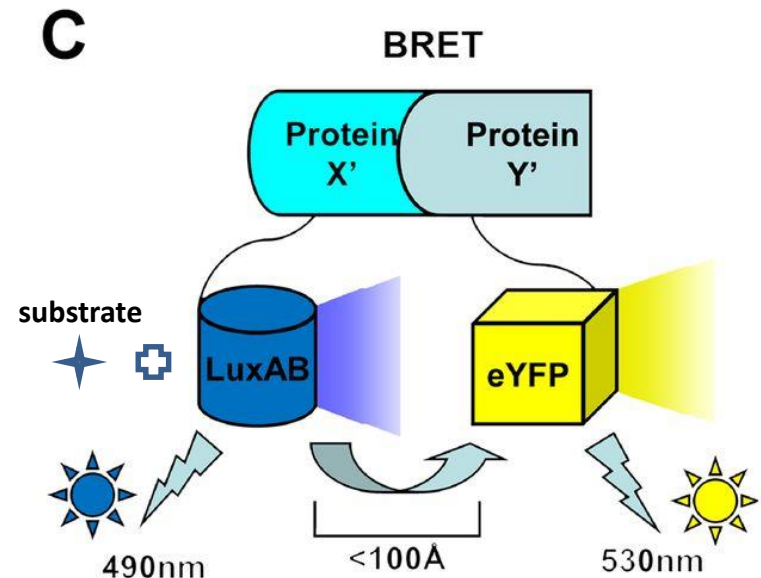
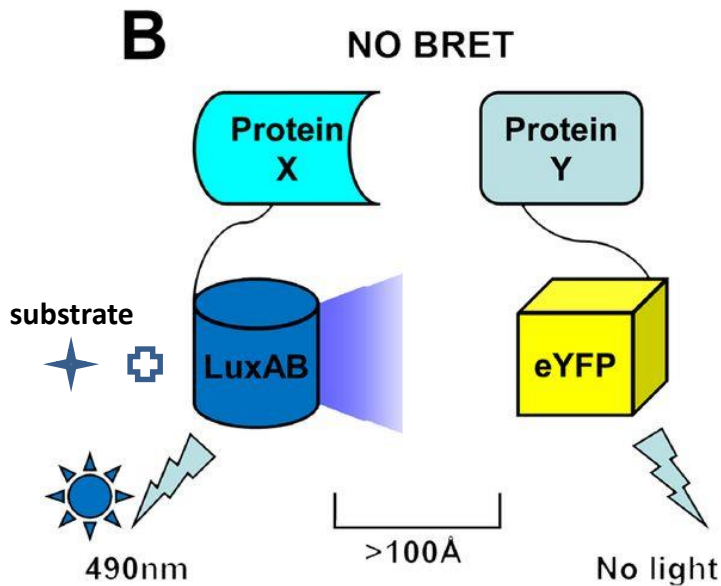
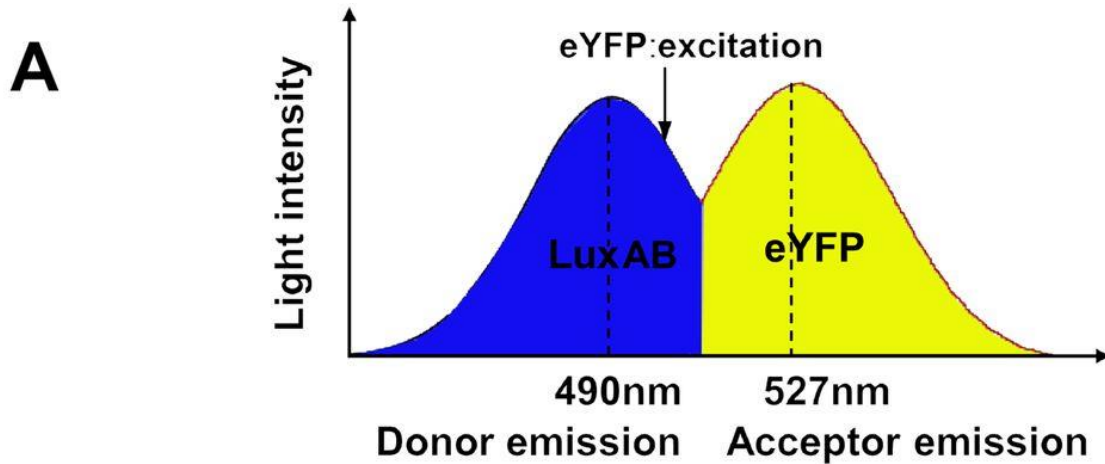
- Cy3-Cy5
- Alexa488-Alexa555
- Alexa488-Cy3
- Alexa594-Alexa647
- FITC-TRITC
- Terbium (III)-Fluorescein
- DiSBAC4(3)-CC2-DMPE (voltage sensitive)

In vivo: nell'ambiente fisiologico (batteri, funghi e cellule di mammifero)

**In vitro: calcolare la distanza/orientamento di due fluorofori
studiare cambiamenti conformazionali**

Studio dell'interazione proteina/proteina e proteina/ligando :

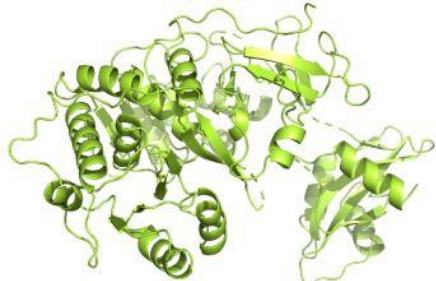
PPI: BRET (Bioluminescence Resonance Energy Transfer)



Studio dell'interazione proteina/proteina e proteina/ligando :

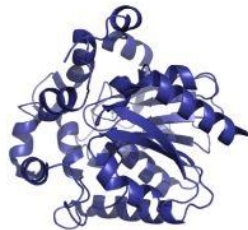
PPI: BRET (Bioluminescence Resonance Energy Transfer)

Firefly luciferase
Luciferin
560nm



550aa / 61kDa

Renilla luciferase
Coelenterazine 400a
400nm



311aa / 36kDa

NanoLuc
Furimazine
460nm



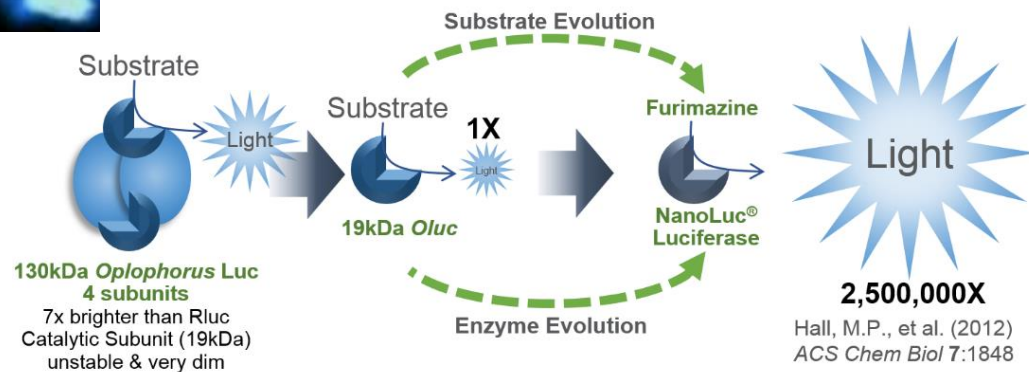
171aa / 19kDa



Photuris lucifescens

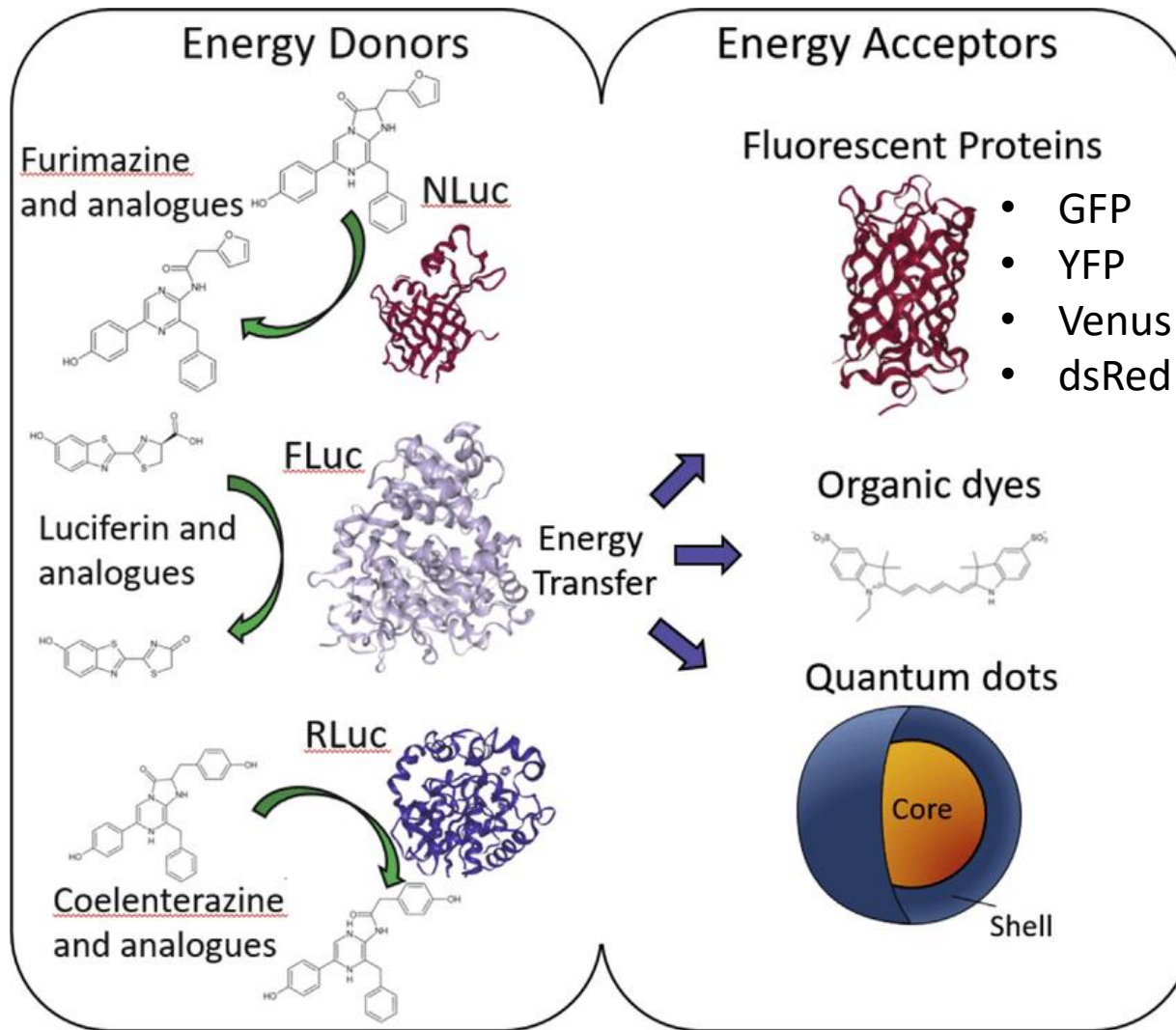
Renilla reniformis

Oplophorus
gracilirostris



Studio dell'interazione proteina/proteina e proteina/ligando :

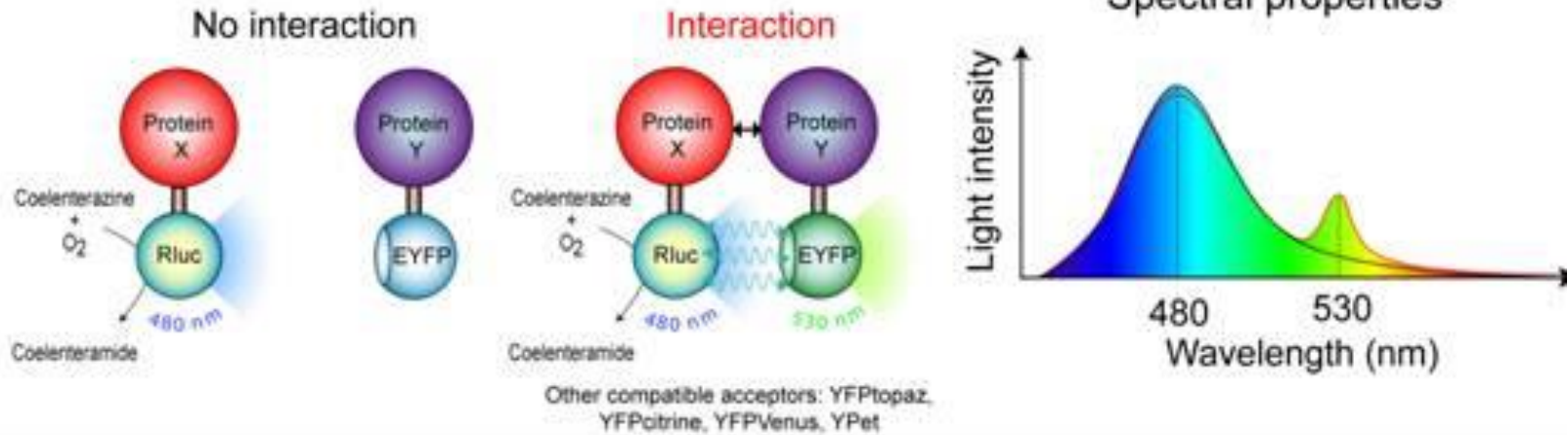
PPI: BRET (Bioluminescence Resonance Energy Transfer)



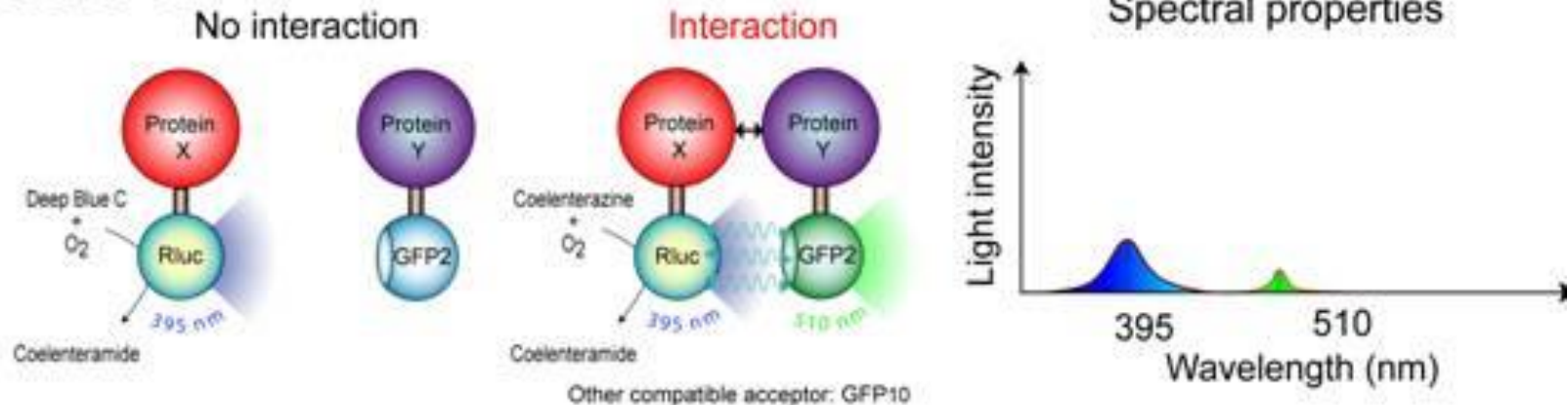
Studio dell'interazione proteina/proteina e proteina/ligando :

PPI: BRET (Bioluminescence Resonance Energy Transfer)

BRET 1

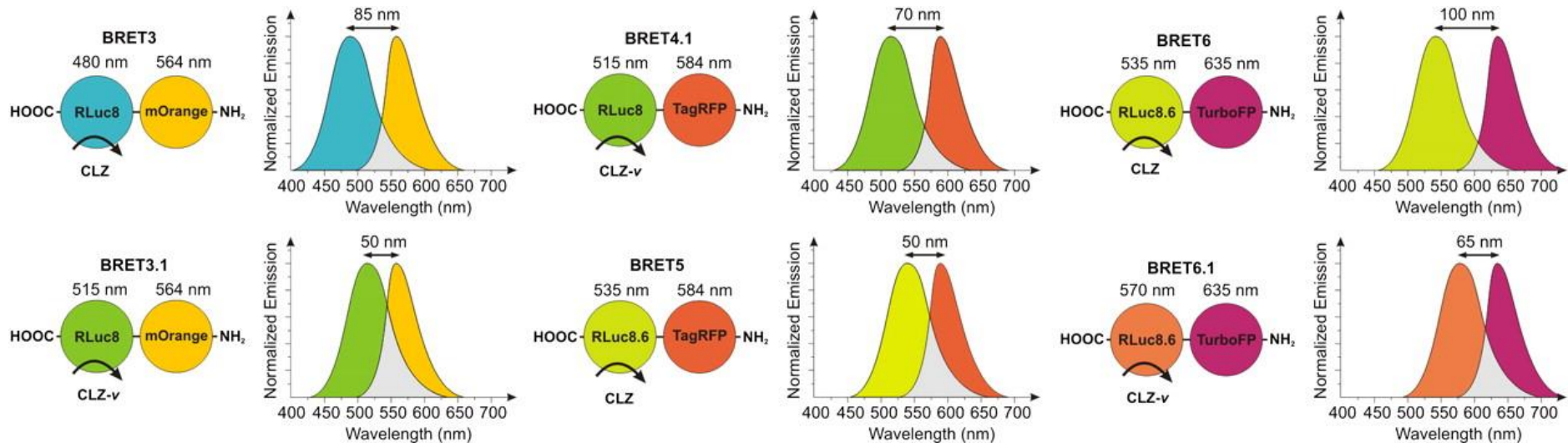


BRET 2

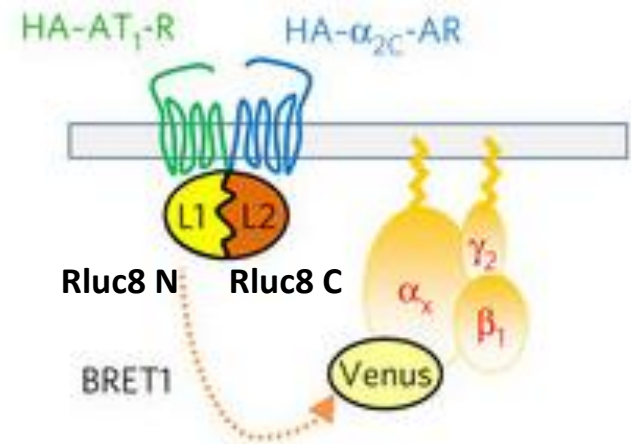


Studio dell'interazione proteina/proteina e proteina/ligando :

PPI: BRET (Bioluminescence Resonance Energy Transfer)

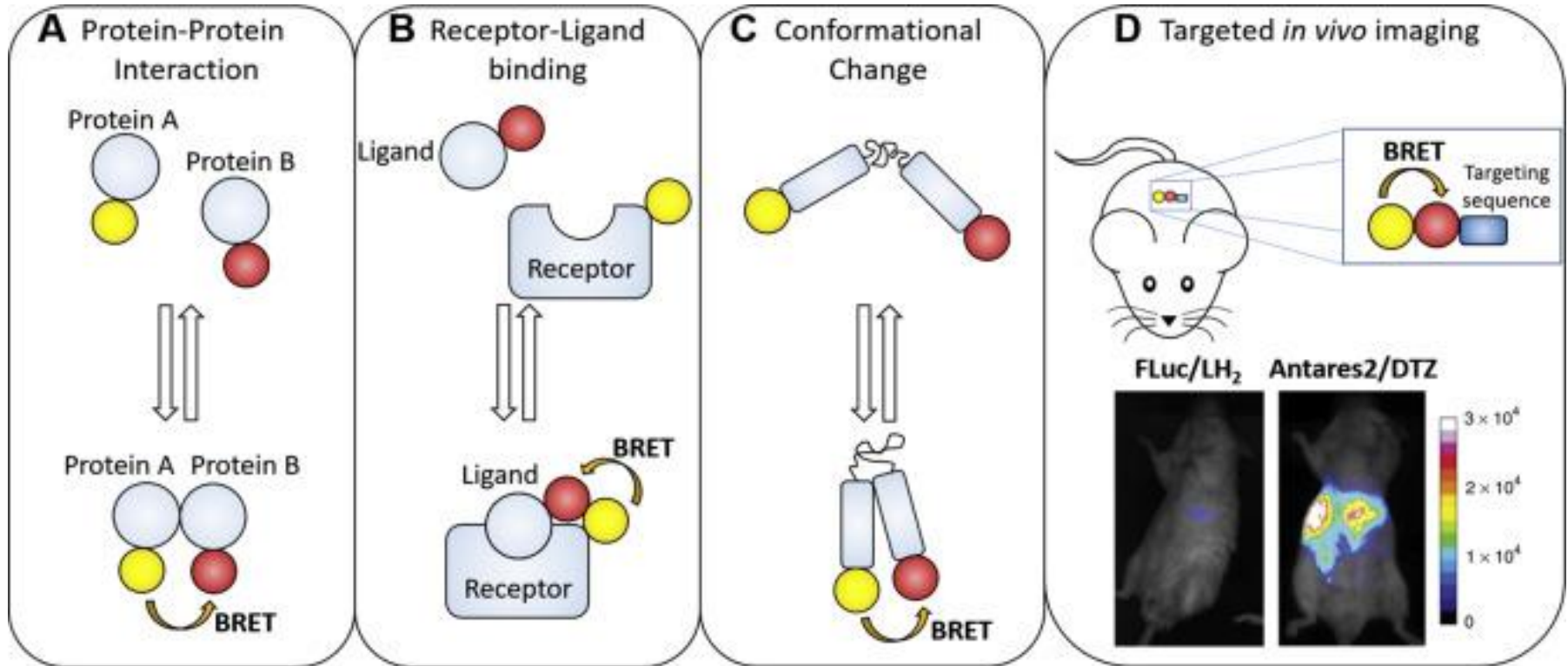


CODA-RET (BRET+PCA): complessi ternari



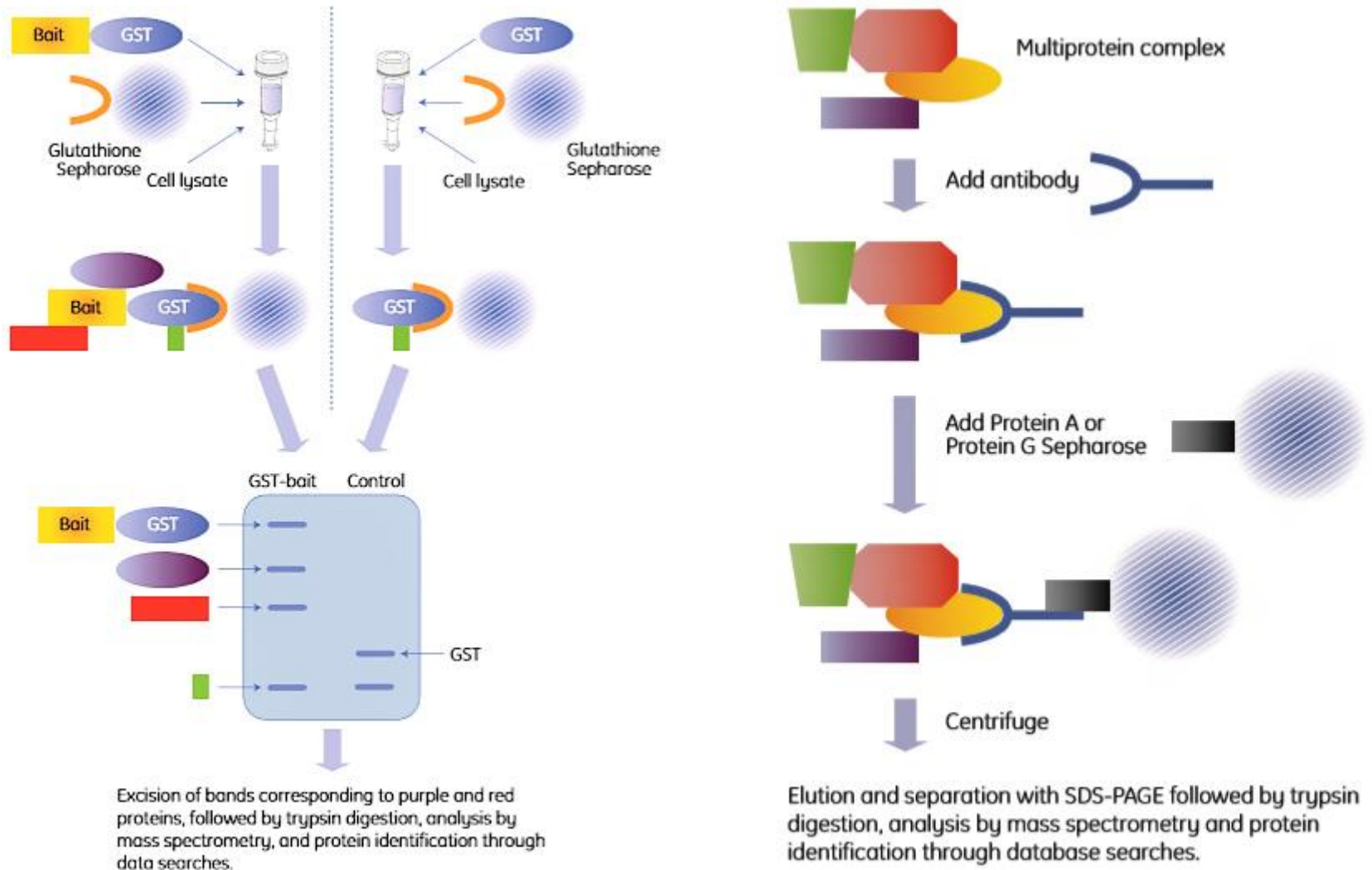
Studio dell'interazione proteina/proteina e proteina/ligando :

PPI: BRET (Bioluminescence Resonance Energy Transfer)



Studio dell'interazione proteina/proteina e proteina/ligando :

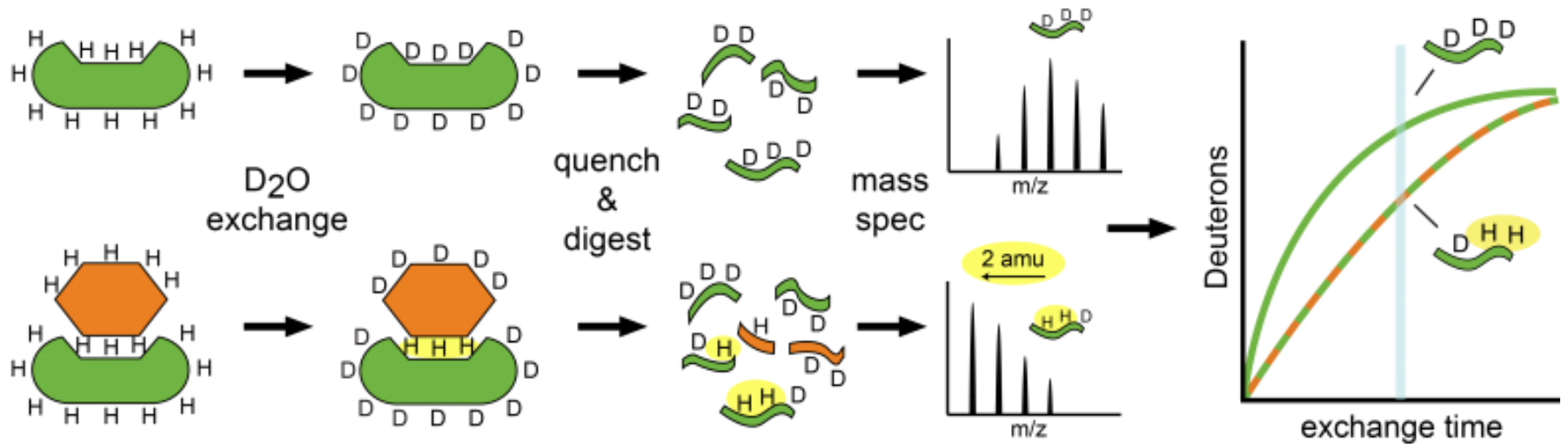
PPI : Pull-down e CoIP



Studio dell'interazione proteina/proteina e proteina/ligando :

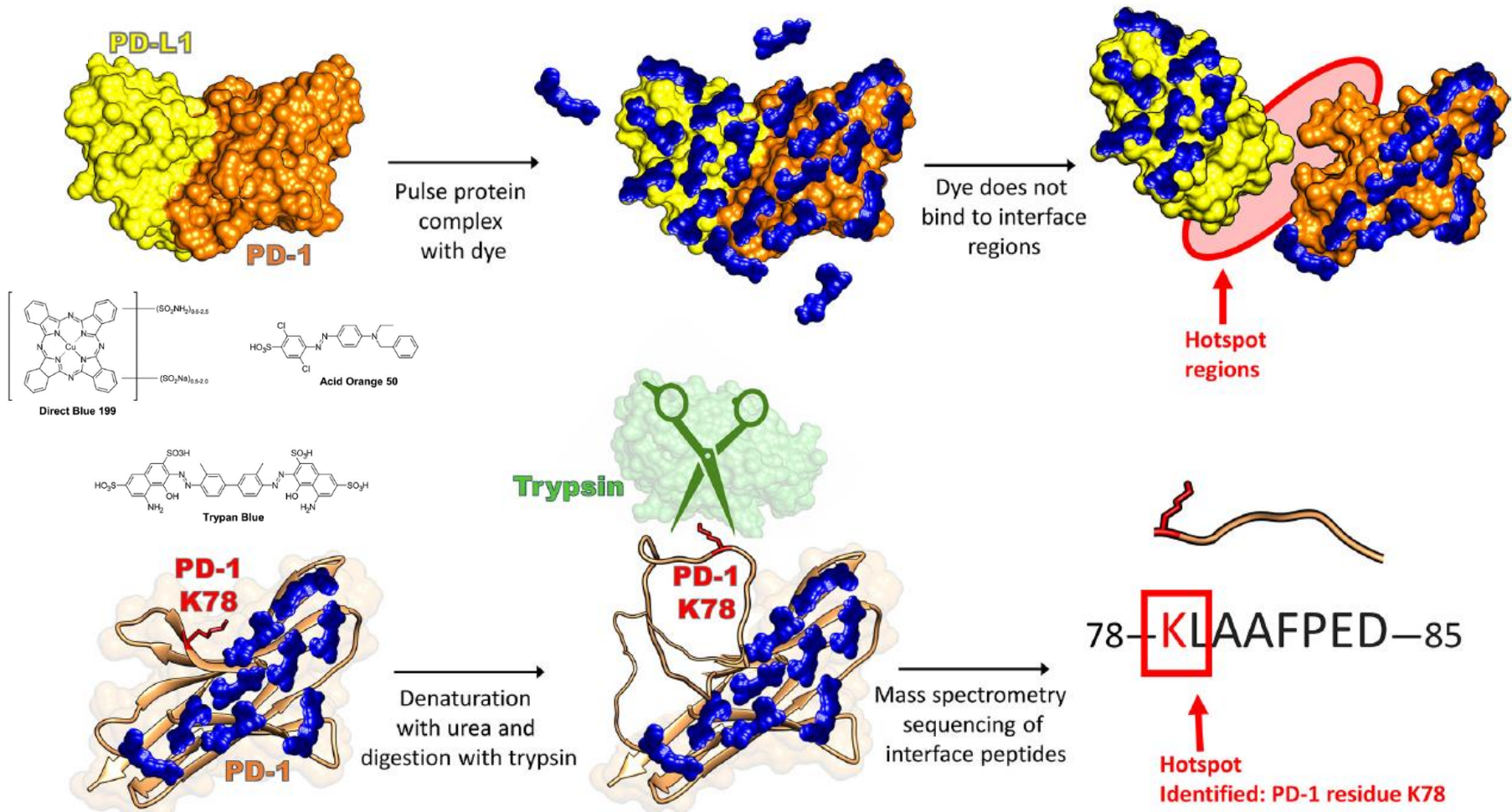
PPI&PLI: Hydrogen/Deuterium Exchange (DX-MS)

HDX-MS: Protein-Protein Interactions



Studio dell'interazione proteina/proteina e proteina/ligando :

PPI&PLI: Protein Painting



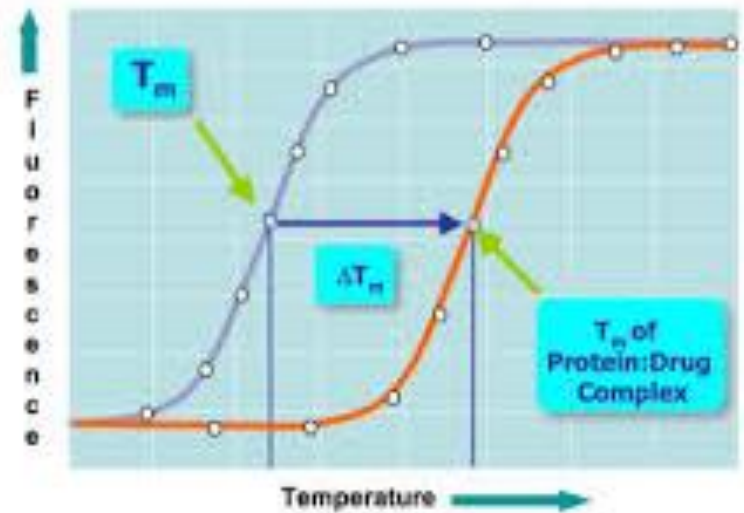
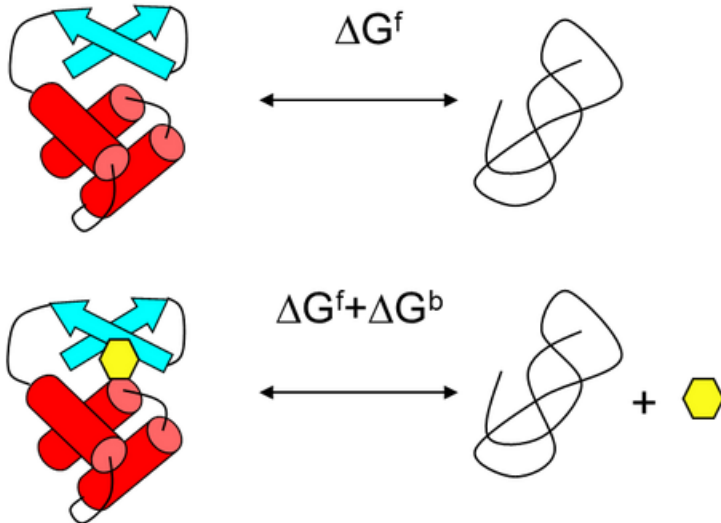
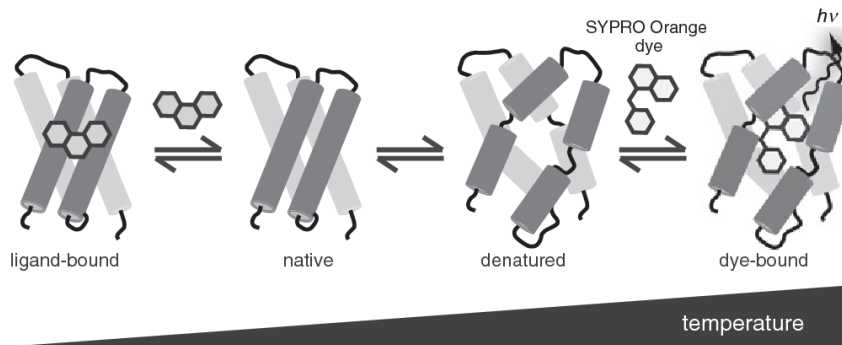
**Interazioni intermolecolari:
metodi di caratterizzazione quantitativa**

DSF

Studio dell'interazione proteina/proteina e proteina/ligando :

DSF: Applicazioni

1) PLI: Screening di ligandi



Correlazione stabilizzazione/affinità dell'interazione proteina/ligando: $IC_{50} < 1\mu M \rightarrow \Delta T_M > 4^\circ C$

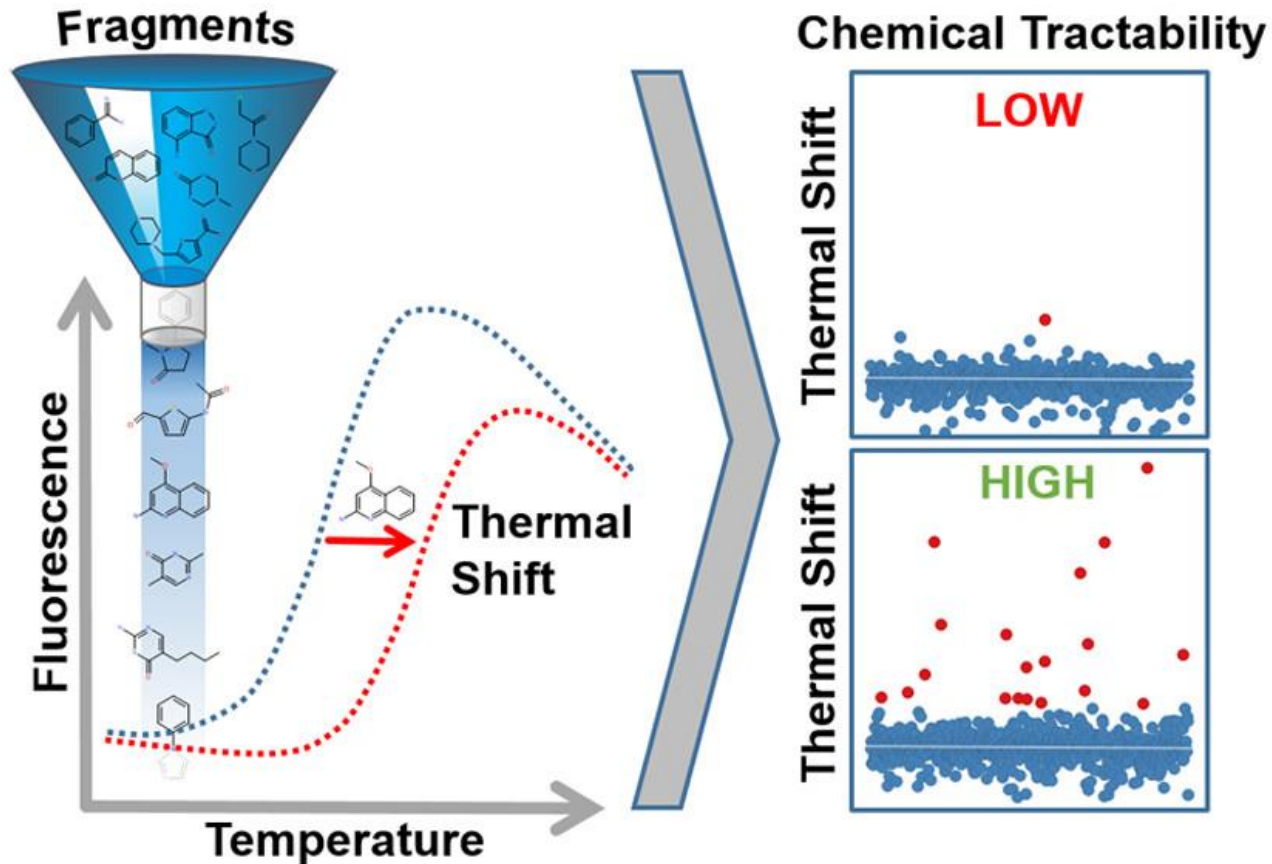
Studio dell'interazione proteina/proteina e proteina/ligando :

DSF: Applicazioni

2) PLI: HIT PROFILING

Confrontando i valori T_m

→ ranking della forza di interazione dei ligandi/stima dell' energia di legame

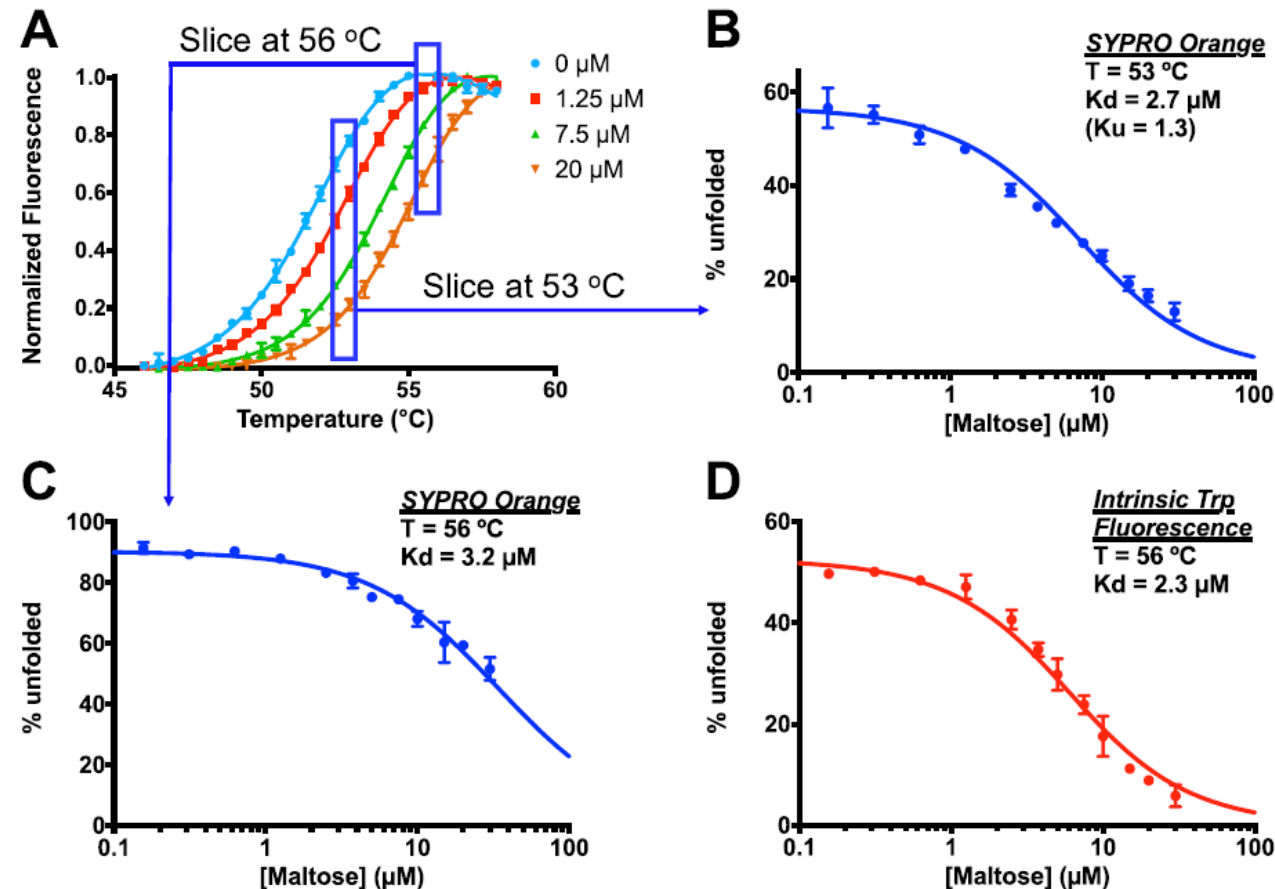


Studio dell'interazione proteina/proteina e proteina/ligando :

DSF: Applicazioni

3) PLI: Caratterizzazione quantitativa

A T costante: due di equilibri accoppiati (folding / unfolding della proteina e legame / dissociazione del ligando).



Approccio "isotermico": dalle curve di melting a diverse [ligando] → frazione di proteina denaturata a una data T → K_D .

SCIENTIFIC REPORTS

OPEN Isothermal Analysis of ThermoFluor Data can readily provide Quantitative Binding Affinities

Received: 23 July 2018
Accepted: 30 November 2018

Nan Bai^{1*}, Heinrich Roder¹, Alex Dickson¹ & John Karanikolas¹

SCIENTIFIC REPORTS | (2019) 9:2650 | https://doi.org/10.1038/s41598-019-37072-4

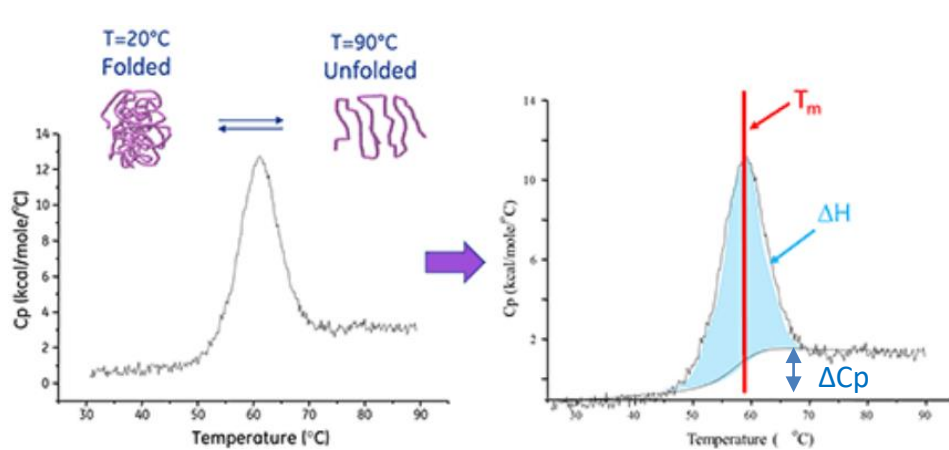
1

DSC

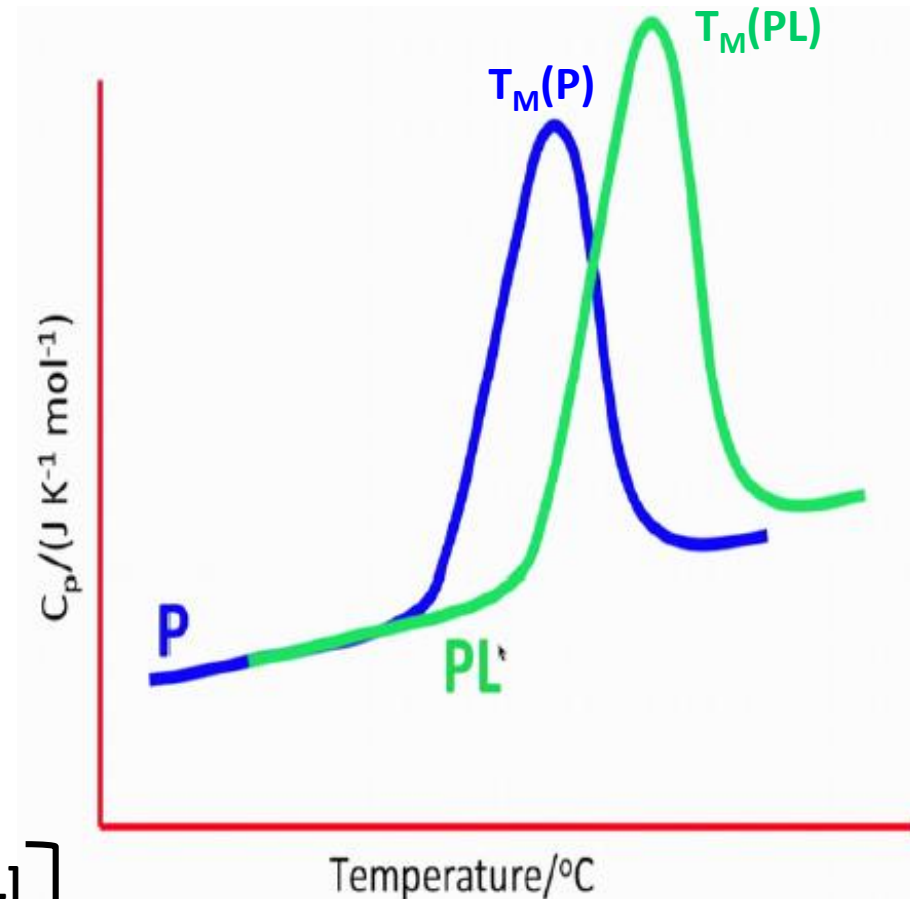
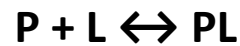
Studio dell'interazione proteina/proteina e proteina/ligando :

DSC: applicazioni

PLI: Caratterizzazione quantitativa



Per l'interazione

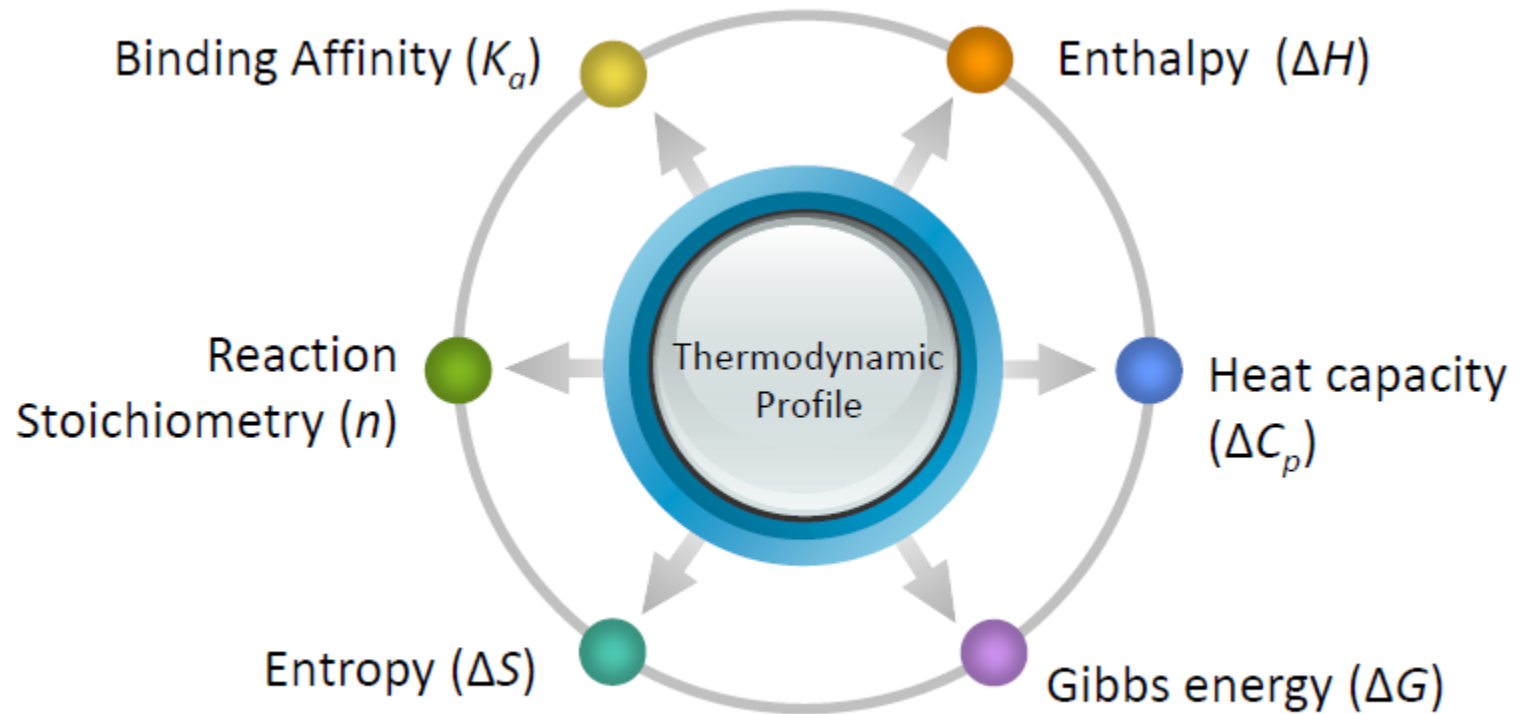


$$\frac{\Delta T_M}{T_M(PL)} = \frac{T_M(PL) - T_M(P)}{T_M(PL)} = \frac{R T_M(P)}{\Delta H(P)} \ln \left[1 + \frac{[L]}{K_D} \right]$$

ITC

Studio dell'interazione proteina/proteina e proteina/ligando :

Isothermal Titration Calorimetry (ITC)



Studio dell'interazione proteina/proteina e proteina/ligando :

Isothermal Titration Calorimetry (ITC): basi

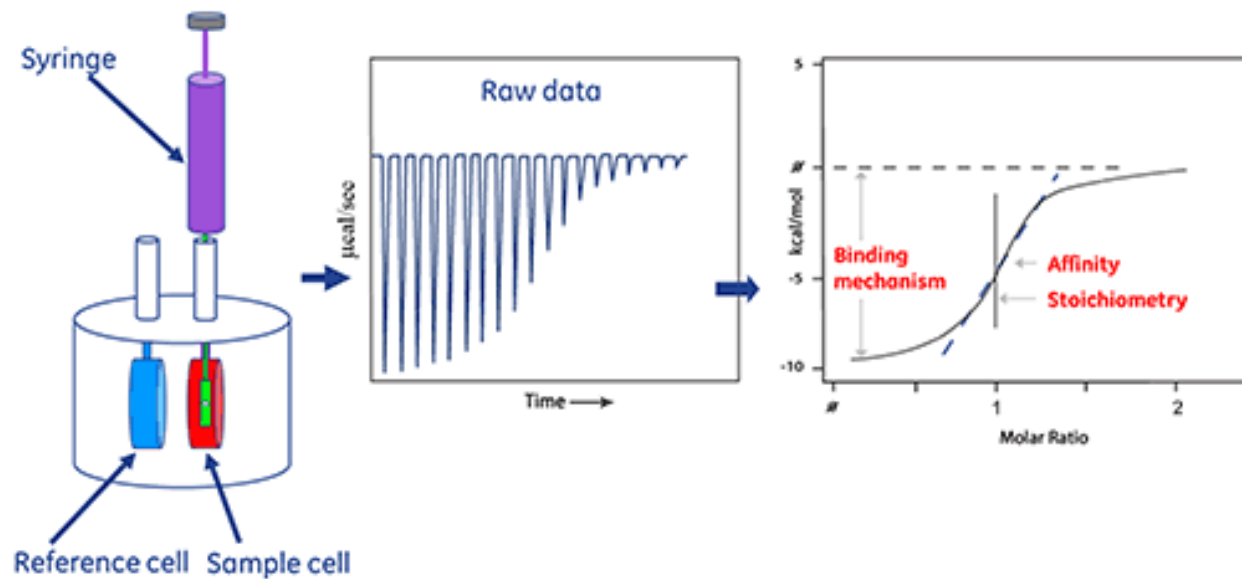
A pressione costante,



$$Q_T = V_0 \Delta H [PL]$$

ΔH variazione di entalpia molare
 V_0 volume della cella calorimetrica

$$\frac{[PL]}{[P]_T} = \frac{Q_T}{V_0 \Delta H [P]_T}$$



A saturazione $[PL] / [P]_T \approx 1$

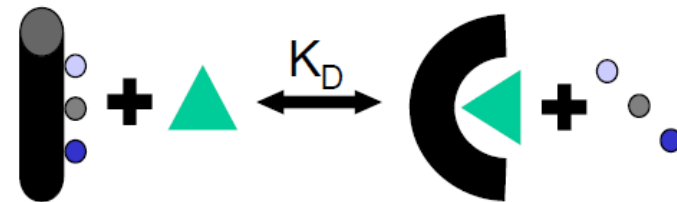
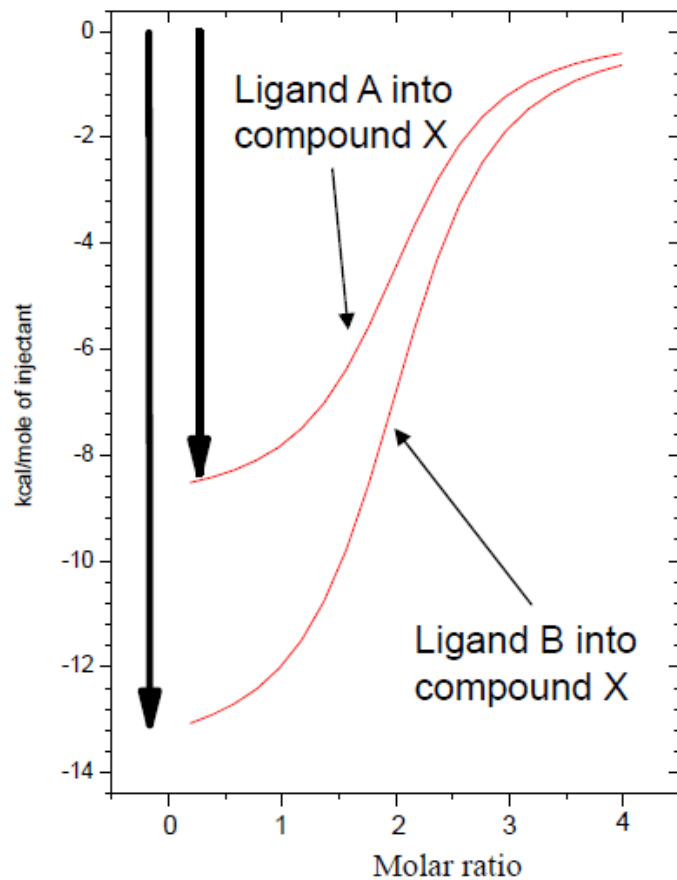
$$\Delta H = \frac{Q_T}{V_0 [P]_T}$$

Studio dell'interazione proteina/proteina e proteina/ligando :

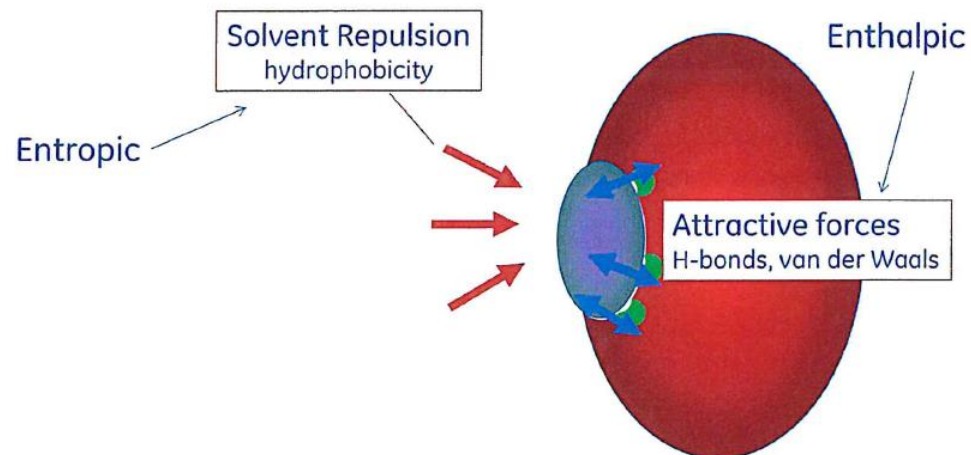
ITC: basi

$$\Delta G = RT \ln K_A = \Delta H - T \Delta S$$

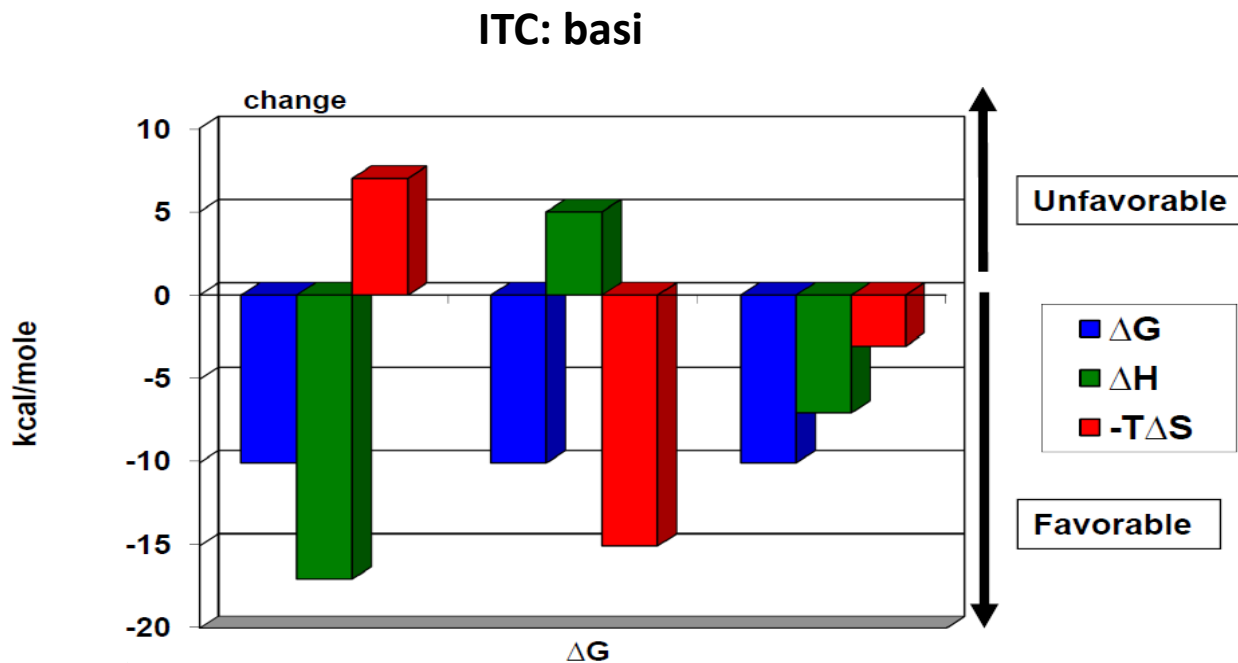
→ diversi meccanismi di legame



Macromolecule
Waters, ions, protons
Ligand



Studio dell'interazione proteina/proteina e proteina/ligando :



ΔH	$-T\Delta S$	$\Delta G = \Delta H - T\Delta S$
-	-	Processo favorito da entrambi e spontaneo a tutte le T
-	+	Processo favorito da entalpia ma sfavorito da entropia, spontaneo a $T < \Delta S / \Delta H$
+	-	Processo sfavorito da entalpia ma favorito da entropia, spontaneo a $T > \Delta S / \Delta H$
+	+	Processo sfavorito da entrambi e mai spontaneo

Studio dell'interazione proteina/proteina e proteina/ligando :

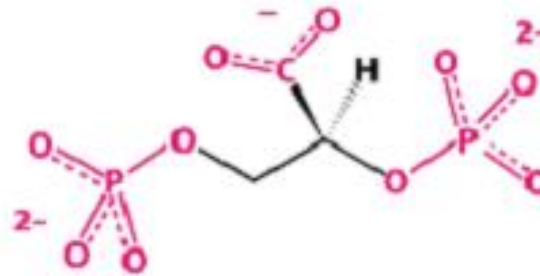
ITC: basi

CASI ESTREMI DI PLI:

A. ΔH driven (ligandi polari):

con grande grado di flessibilità
con distanze ottimali per legami H
molto specifici

AFFINITA' BASSE

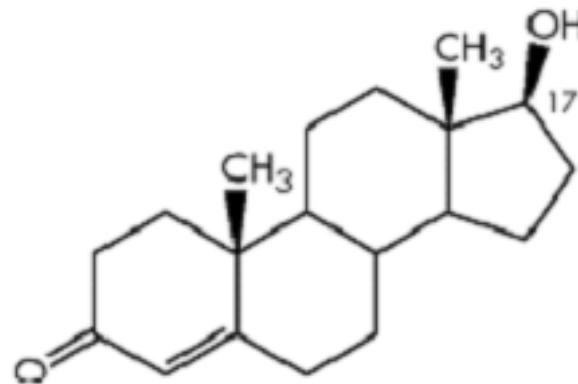


**2,3-Bisphosphoglycerate
(2,3-BPG)**

B. $-T\Delta S$ driven (ligandi idrofobici):

spesso molto grandi
meno specifici

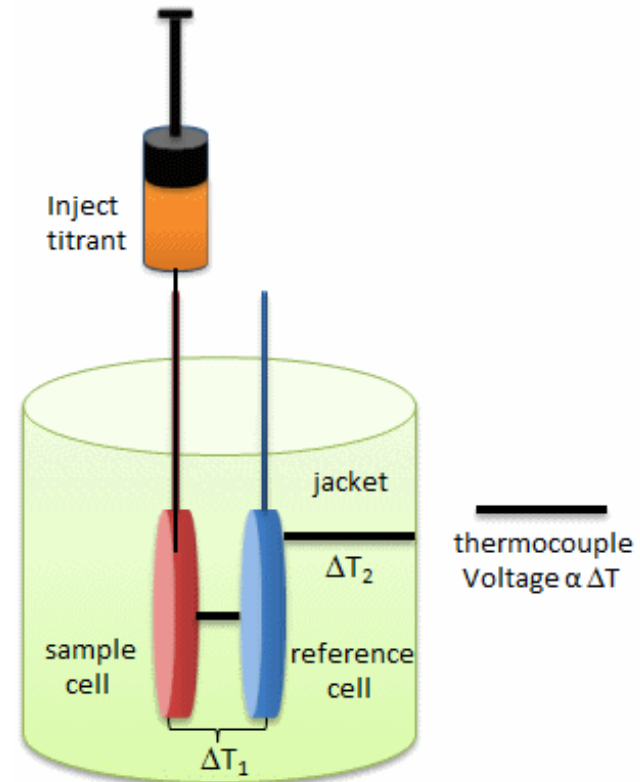
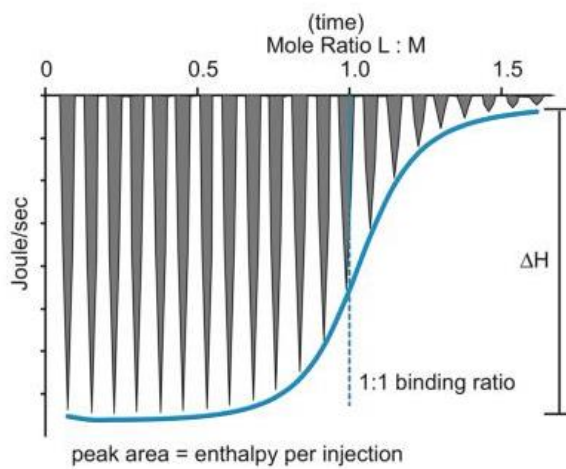
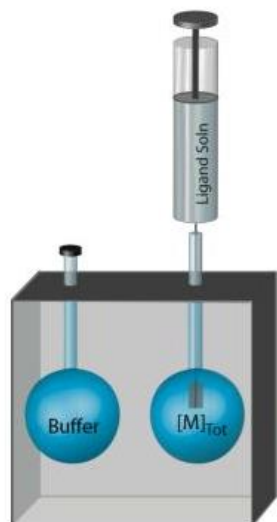
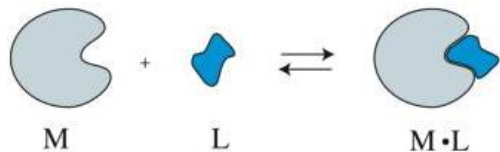
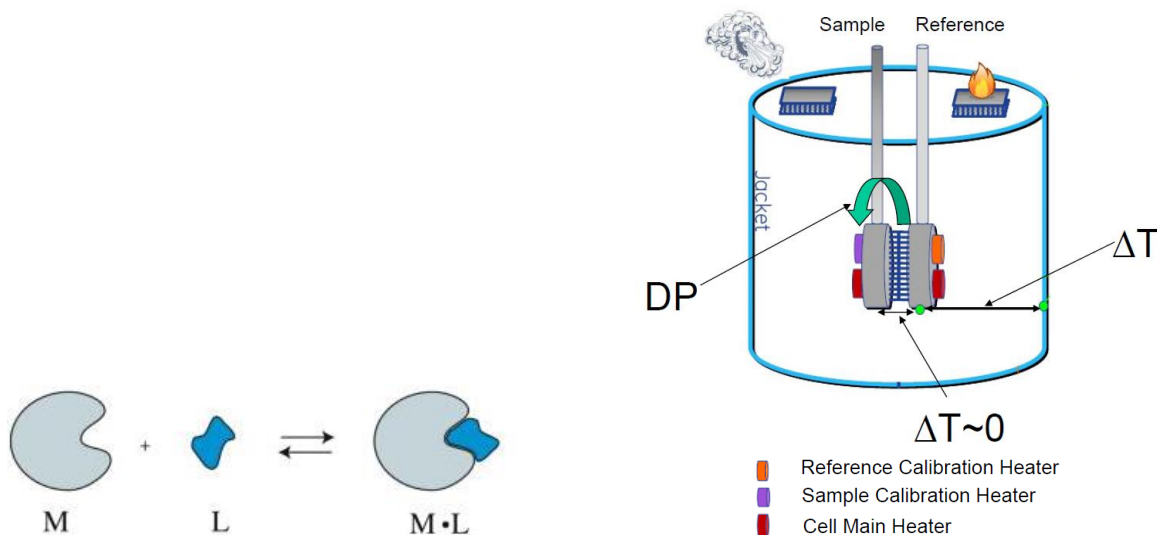
AFFINITA' ALTE



Testosterone

Studio dell'interazione proteina/proteina e proteina/ligando :

ITC: setup

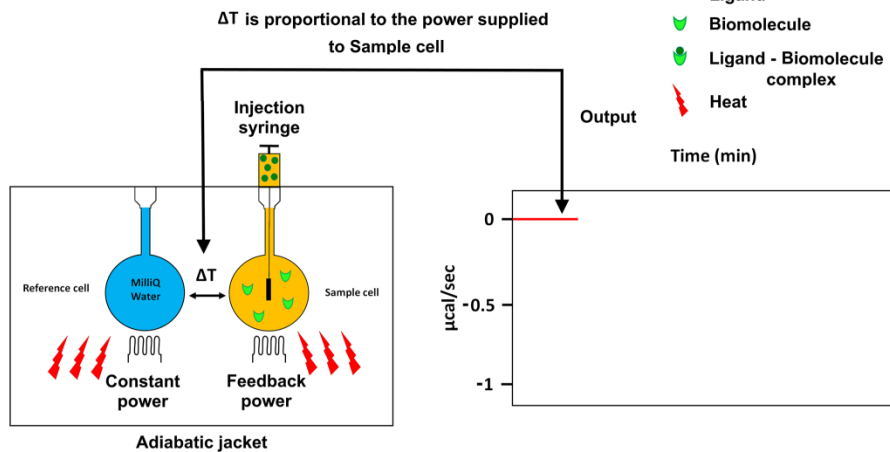


Studio dell'interazione proteina/proteina e proteina/ligando :

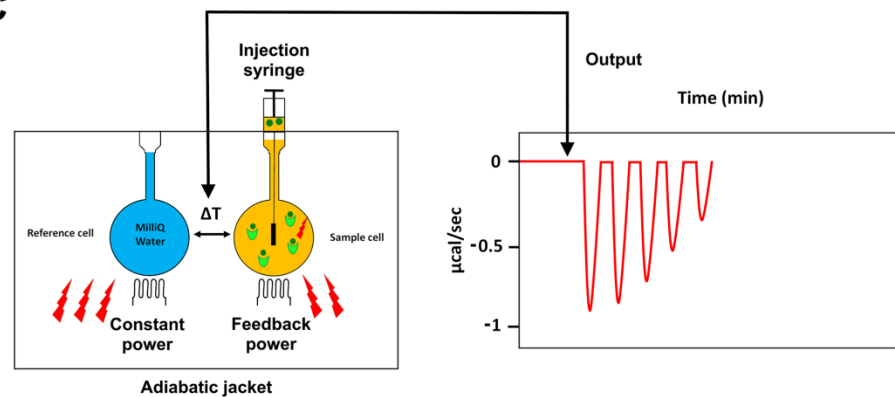
ITC: setup

- Ligand
- Biomolecule
- Ligand - Biomolecule complex
- 🔥 Heat

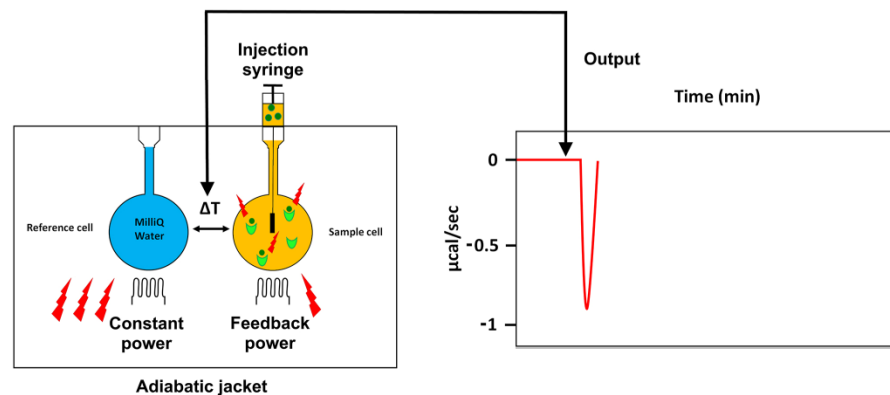
A



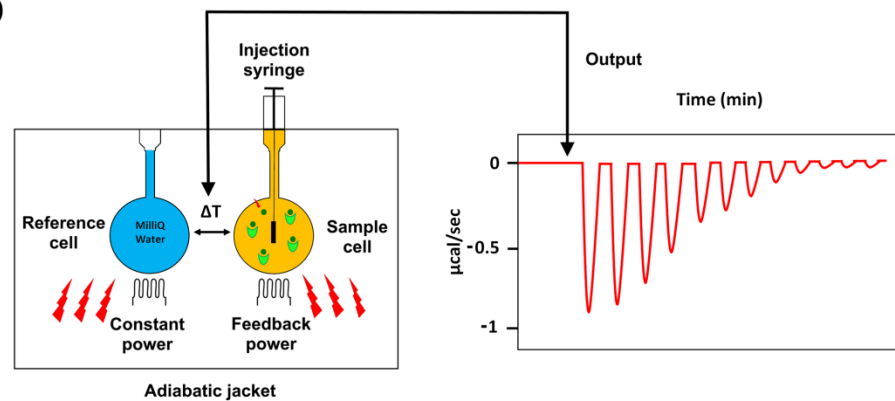
C



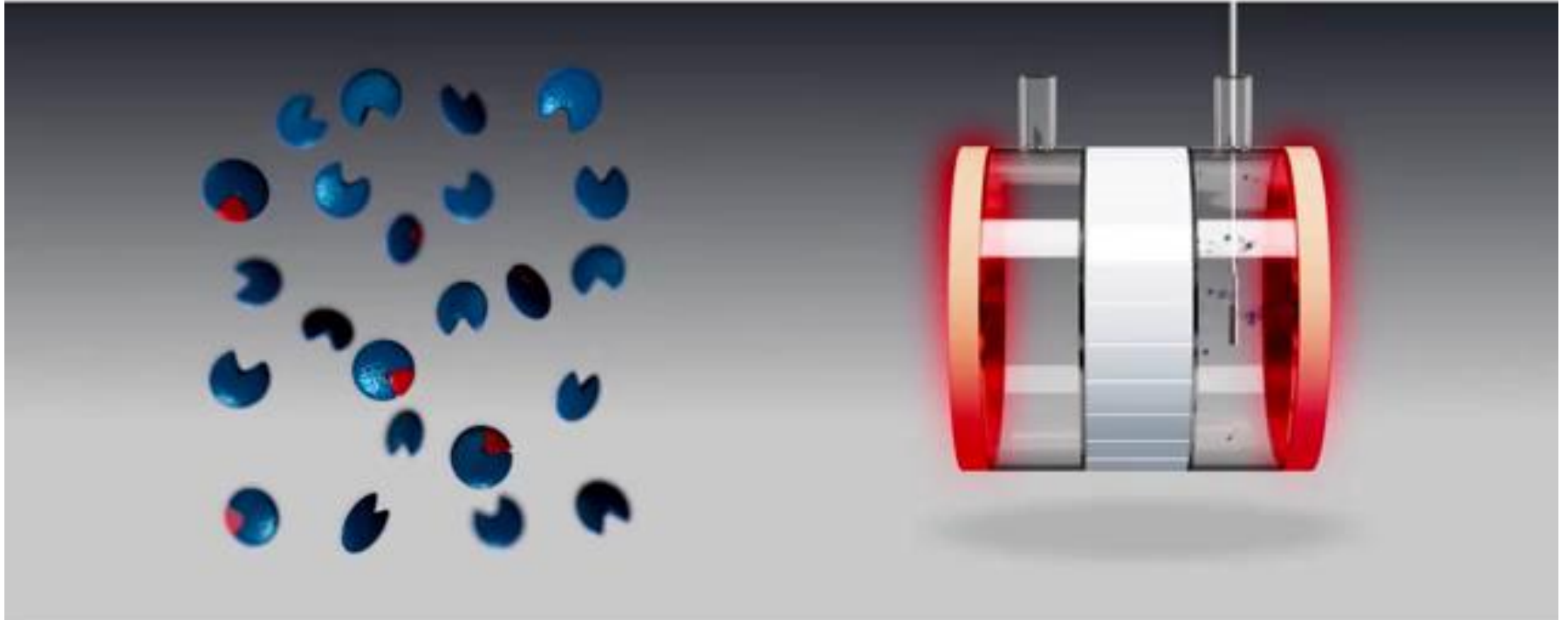
B



D

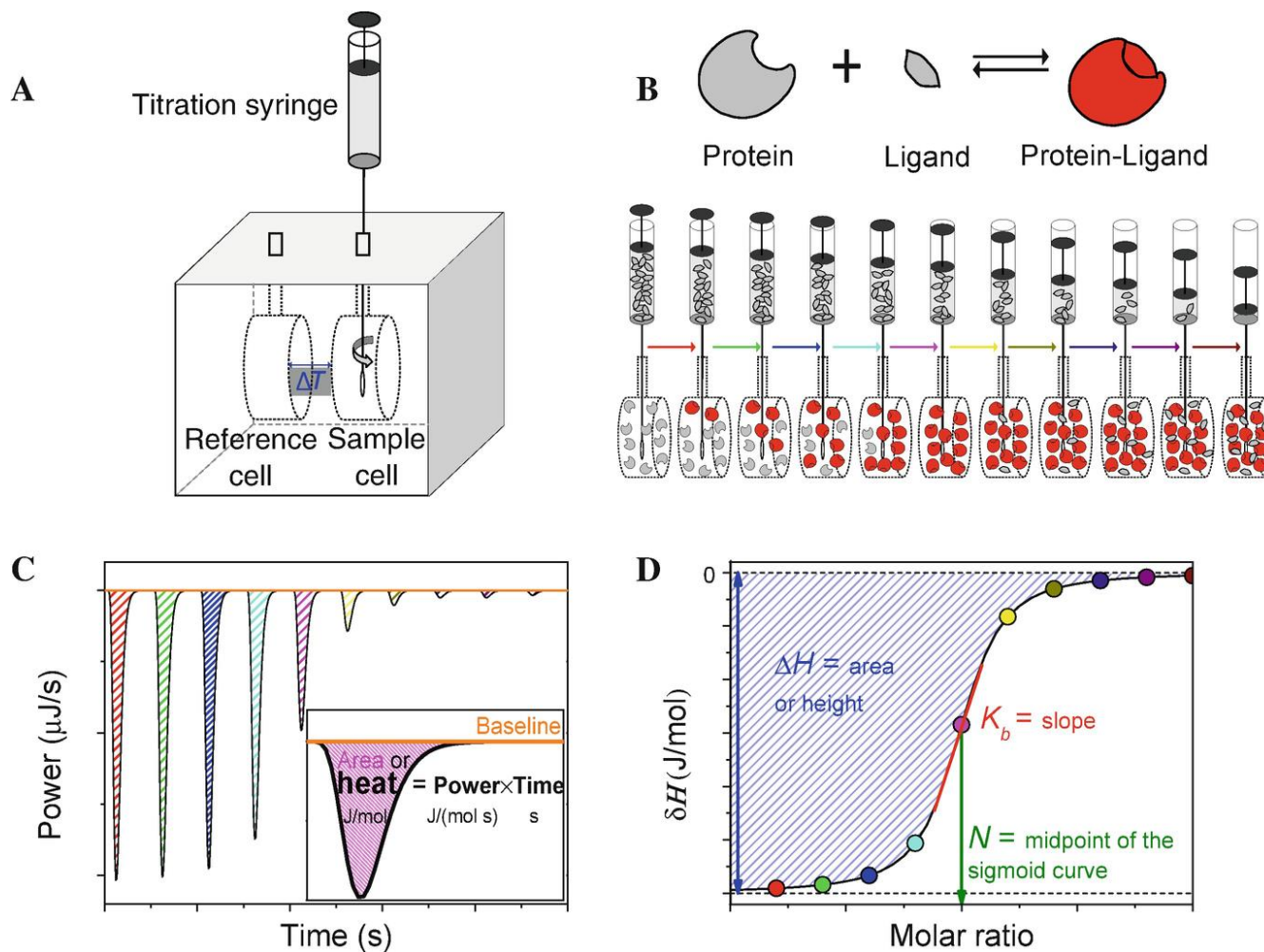


Studio dell'interazione proteina/proteina e proteina/ligando :



Studio dell'interazione proteina/proteina e proteina/ligando :

ITC: setup



ISOTERMA DI LEGAME

Studio dell'interazione proteina/proteina e proteina/ligando :

ITC: strumentazione

MicroCal VP-ITC



MicroCal iTC₂₀₀



MicroCal PEAQ™ ITC



MicroCal Auto-iTC₂₀₀



MicroCal PEAQ ITC Automated

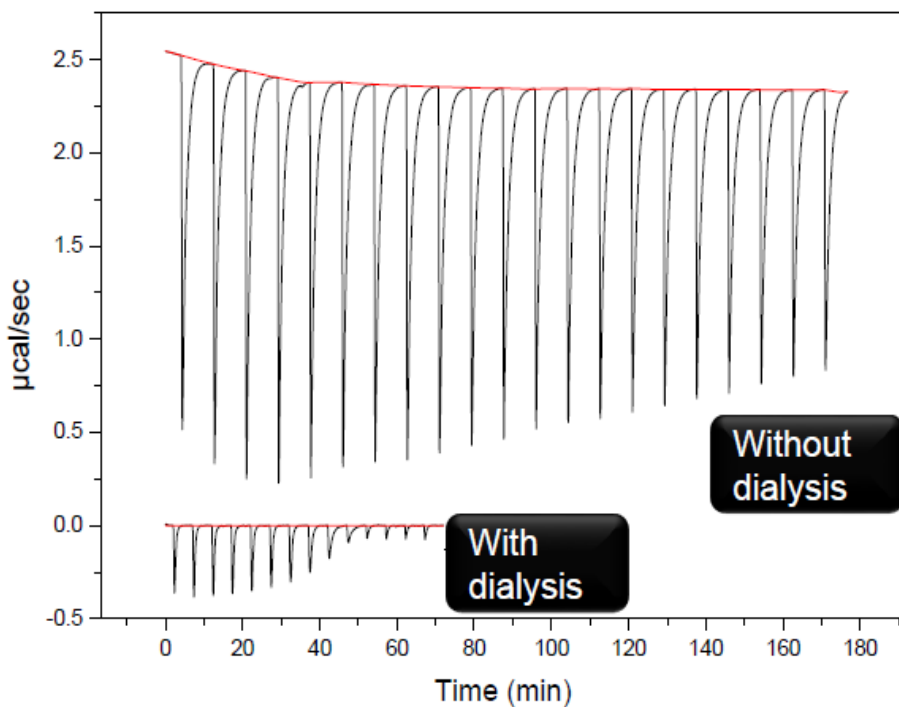


Studio dell'interazione proteina/proteina e proteina/ligando :

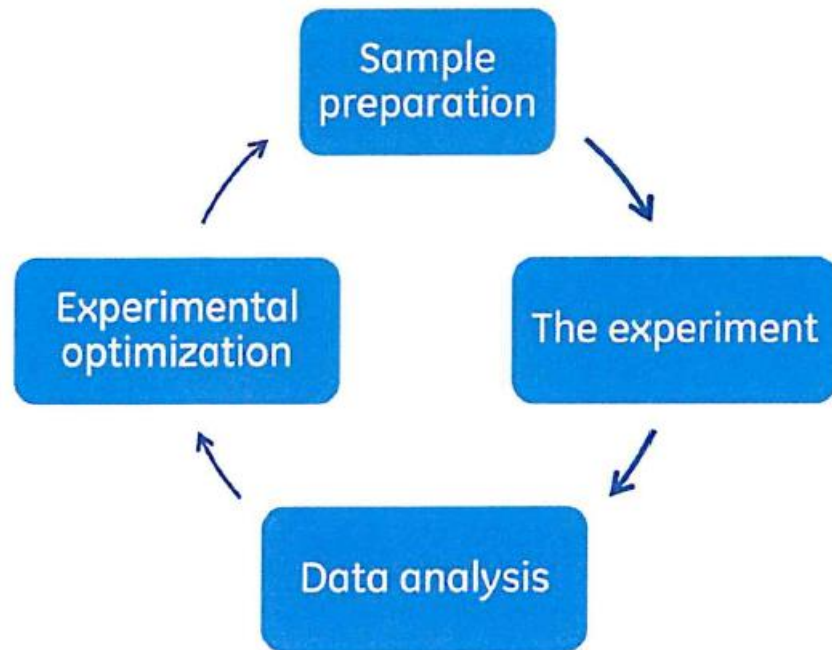
ITC: condizioni sperimentali

preparazione del campione:

1. Buffer matching



2. Misura della []

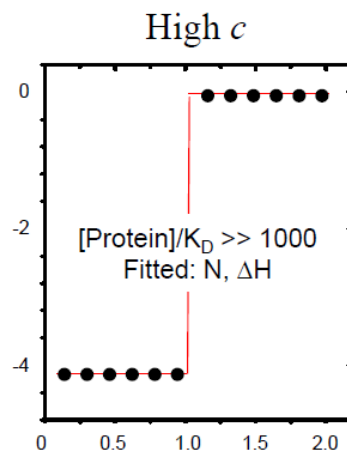
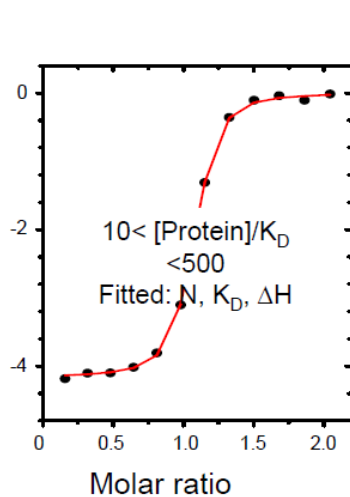
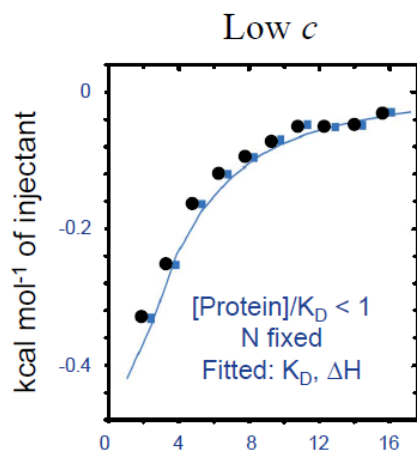
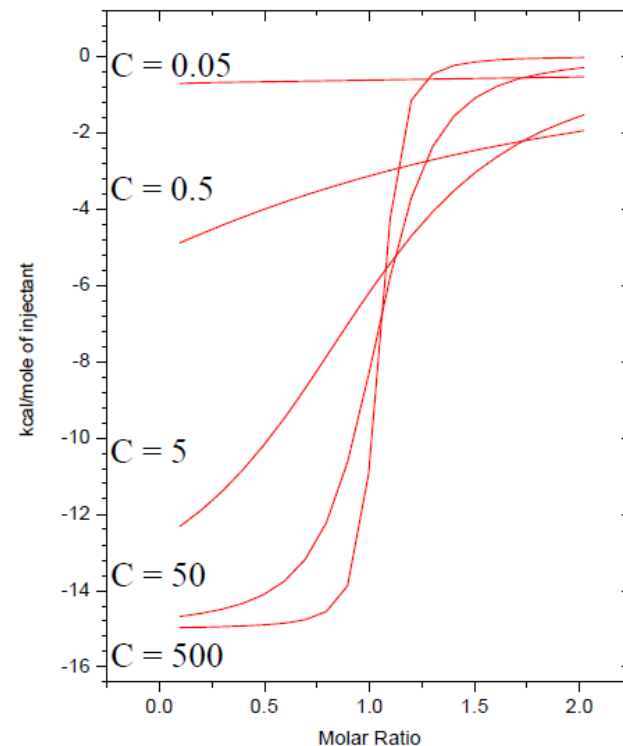
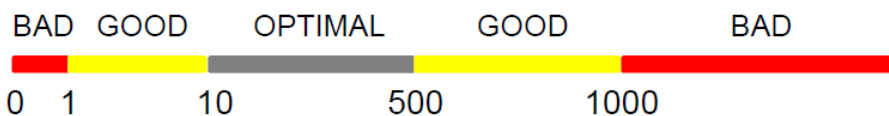


Studio dell'interazione proteina/proteina e proteina/ligando :

ITC: condizioni sperimentali

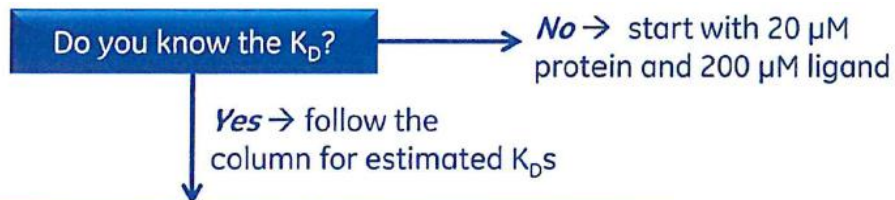
[P] nel μM

$$C = [P]/K_D$$



Studio dell'interazione proteina/proteina e proteina/ligando :

ITC: condizioni sperimentali

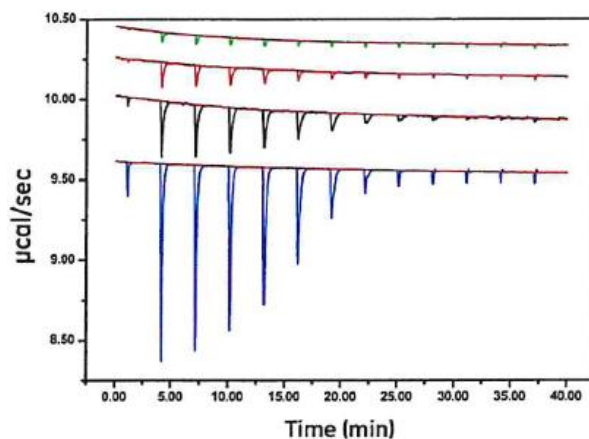


Estimated K_D μM	[Protein] μM	[Ligand] μM	[Protein]/ $K_D = C$
<0.5	10	100	>20
0.5-2	20	200	10-40
2-10	50	500	5-25
10-100	30	$40 \cdot K_D$	0.3-3
>100	30	$20 \cdot K_D$	<0.3

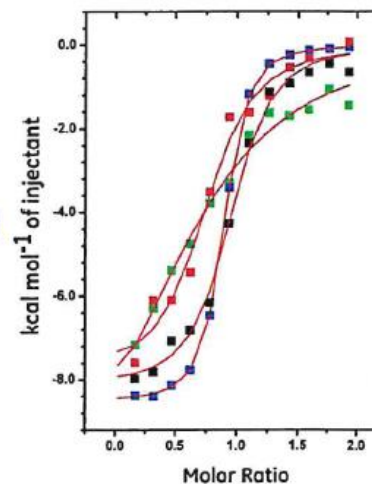
[Furosemide] = 10 * [BCA II]

[BCA II], C

$K_D \sim 500 \text{ nM}$


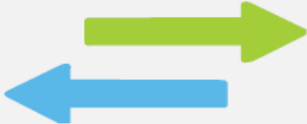
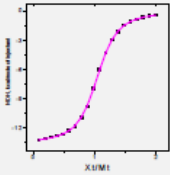



5 μM , C = 10
 10 μM , C = 20
 20 μM , C = 40
 50 μM , C = 100



Studio dell'interazione proteina/proteina e proteina/ligando :

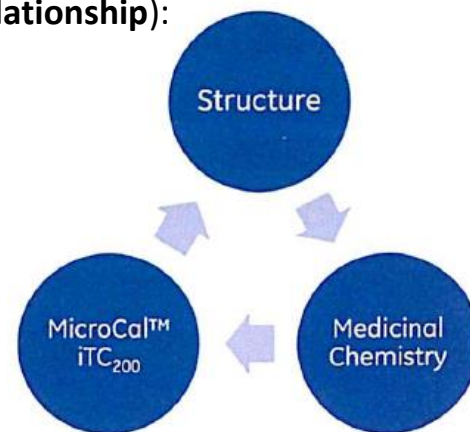
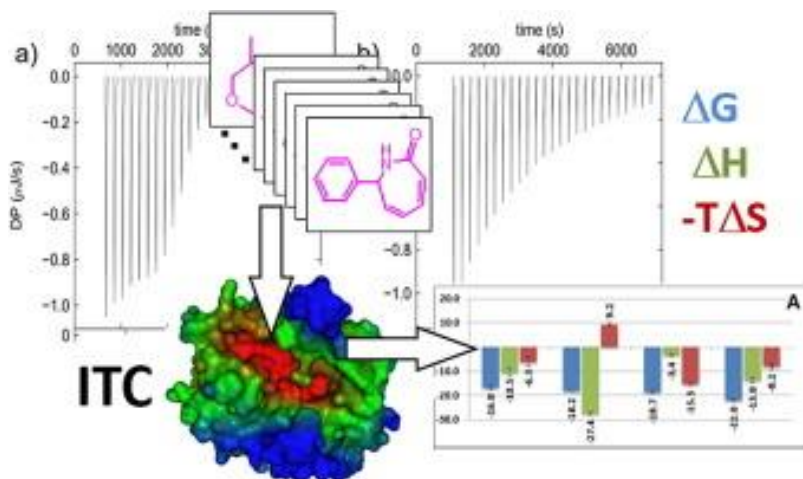
ITC: vantaggi

Label-free	Broad dynamic range	Information rich	Ease-of-use
<ul style="list-style-type: none">• Direct measurement of heat change (ITC)• Direct measurement of melting transition temperature to predict thermal stability (DSC) 	<ul style="list-style-type: none">• Native molecules in solution (biological relevance)• Very sensitive to accomodate range of affinities 	<ul style="list-style-type: none">• All binding parameters (affinity, stoichiometry, enthalpy and entropy) in a single ITC experiment 	<ul style="list-style-type: none">• No labeling or immobilization necessary• No assay development• Wide range of solvent/buffer conditions 

Studio dell'interazione proteina/proteina e proteina/ligando :

ITC & Drug Design

- termodinamica per guidare l'ottimizzazione del farmaco (SAR: Structure–activity relationship):



Due approcci: ottimizzare

ΔH

ΔS

Ma

perdita di specificità
impossibilità di ottenere K_A alte
polimorfismi associati a drug-resistance

ITC guida nella scelta del tipo di modifiche
determina variazioni nel tipo di legame
dovute a polimorfismi

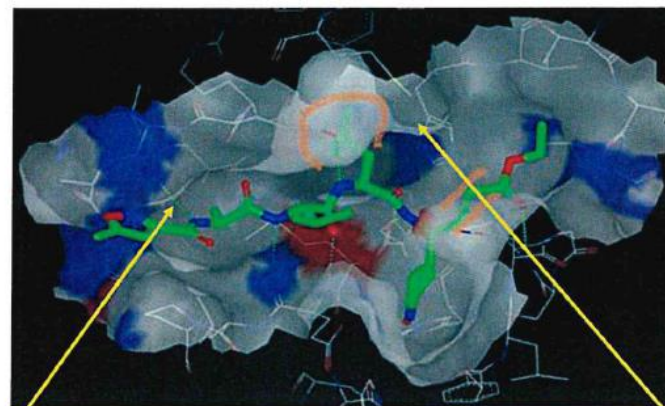


Image by permission of Professor Dr. Knut Baumann Institut fuer Pharmazetische Chemie, Technische Universitaet Braunschweig, Germany

ΔH - indicates H Bonding and van der Waals interactions

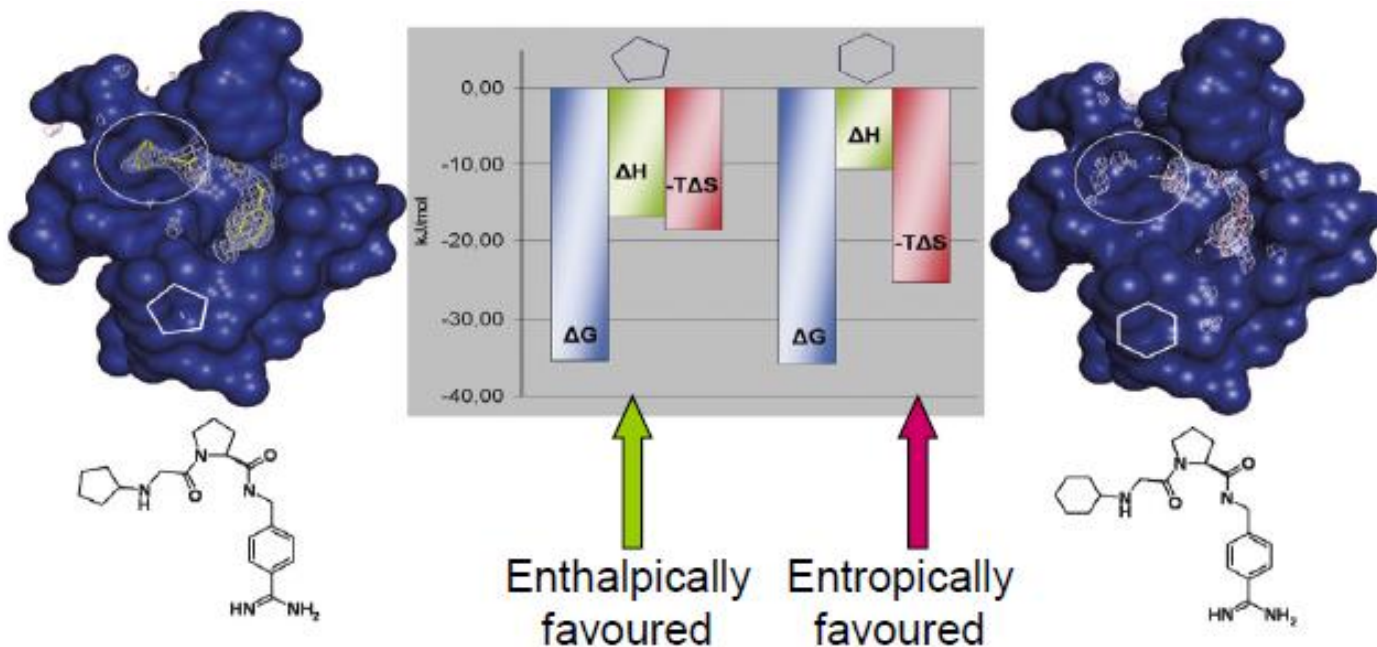
$T\Delta S$ - indicates hydrophobic interactions and conformational

Studio dell'interazione proteina/proteina e proteina/ligando :

ITC:

Applicazioni nella scoperta e lo sviluppo di nuovi farmaci:

Inibitori della trombina:



Strutture cristalline di due inibitori della trombina strettamente correlati con un gruppo ciclopentile o cicloesile



Drug Discovery Today

Volume 11, Issues 13–14, July 2006, Pages 580–594



Review

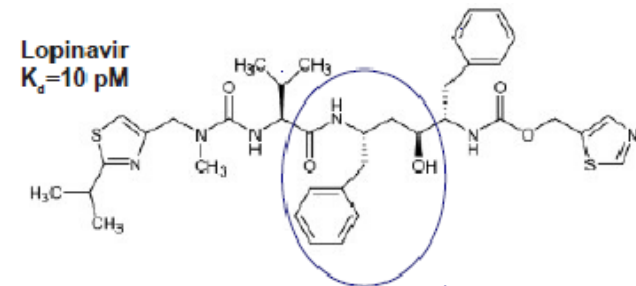
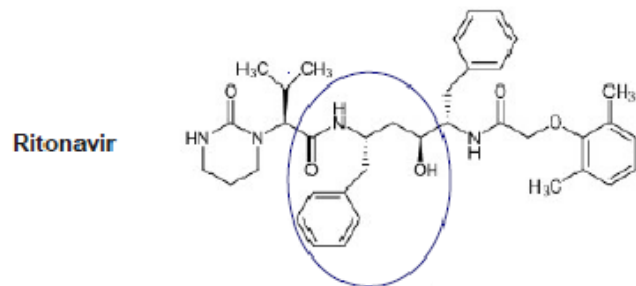
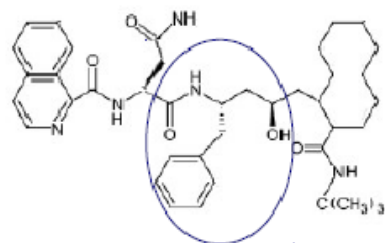
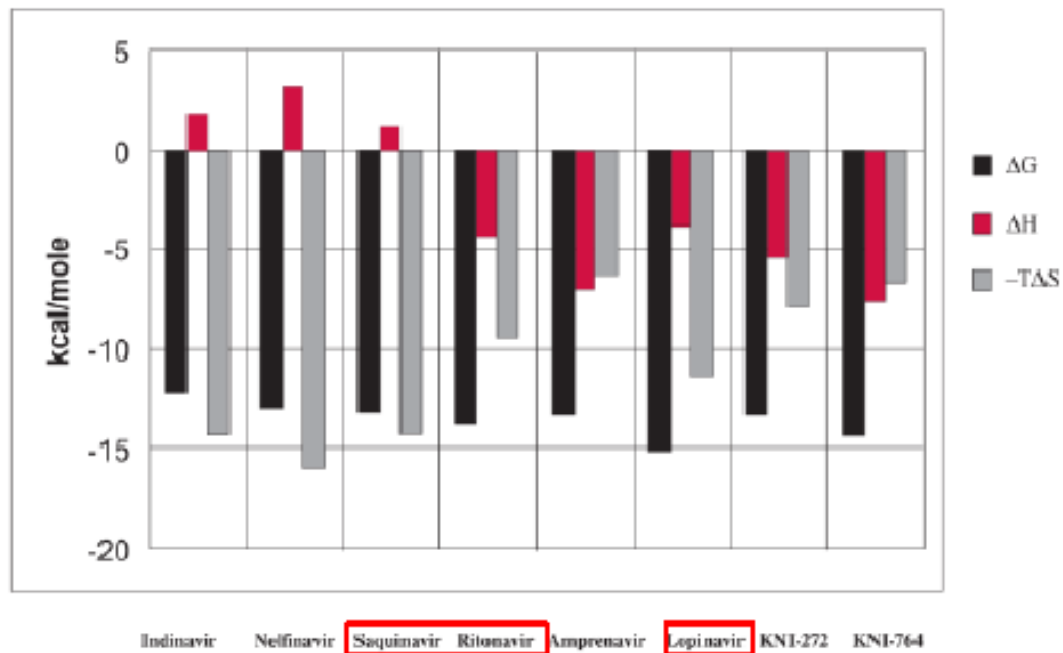
Foundation

Virtual ligand screening: strategies, perspectives and limitations

Studio dell'interazione proteina/proteina e proteina/ligando :

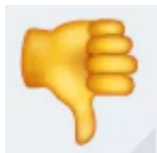
ITC:

Applicazioni nella scoperta e lo sviluppo di nuovi farmaci:
Inibitori della proteasi di HIV-1



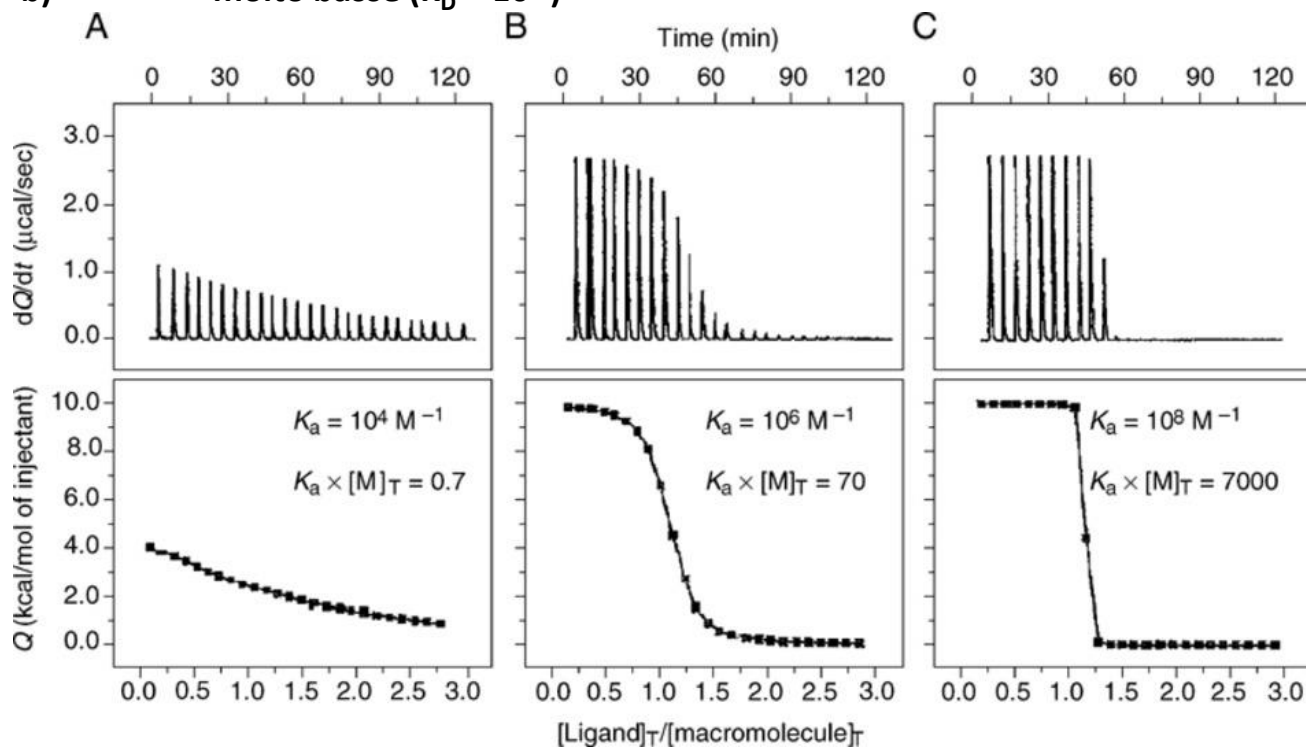
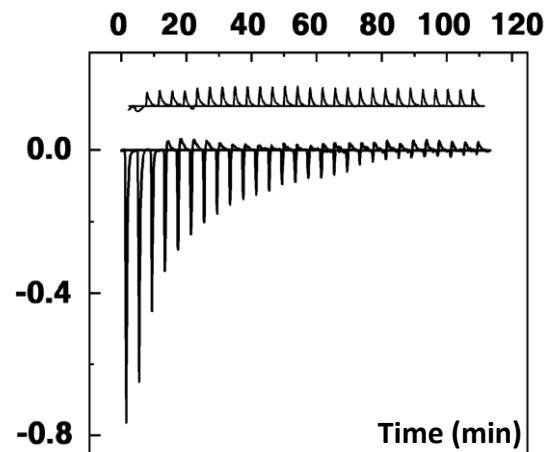
Studio dell'interazione proteina/proteina e proteina/ligando :

ITC:



- Misura il calore globale
- Solo per PPI/PLI con calore misurabile
- Elevato consumo di campione
- Non può misurare direttamente **affinità**

- a) molto alte ($K_D < 10^{-8}$)
 b) molto basse ($K_D > 10^{-4}$)



Studio dell'interazione proteina/proteina e proteina/ligando :

ITC:

Metodi di DISPACEMENT:

Prerequisito: **competitore noto:**

$$K_{app} = K_A / (1 + K_{comp} [comp])$$

a) DEBOLE (W)
Misurabili K_D fino a 10^{-12}

b) FORTE (S)
Misurabili K_D fino a 10^{-3}

